

*Лабораторный семинар ЛЯП ОИЯИ 17.05.2018*

---

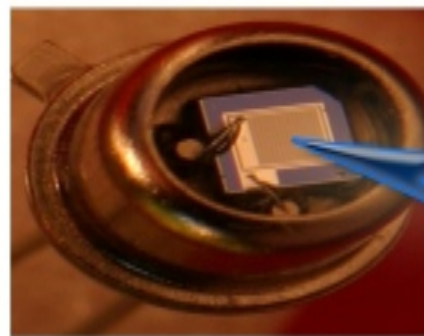
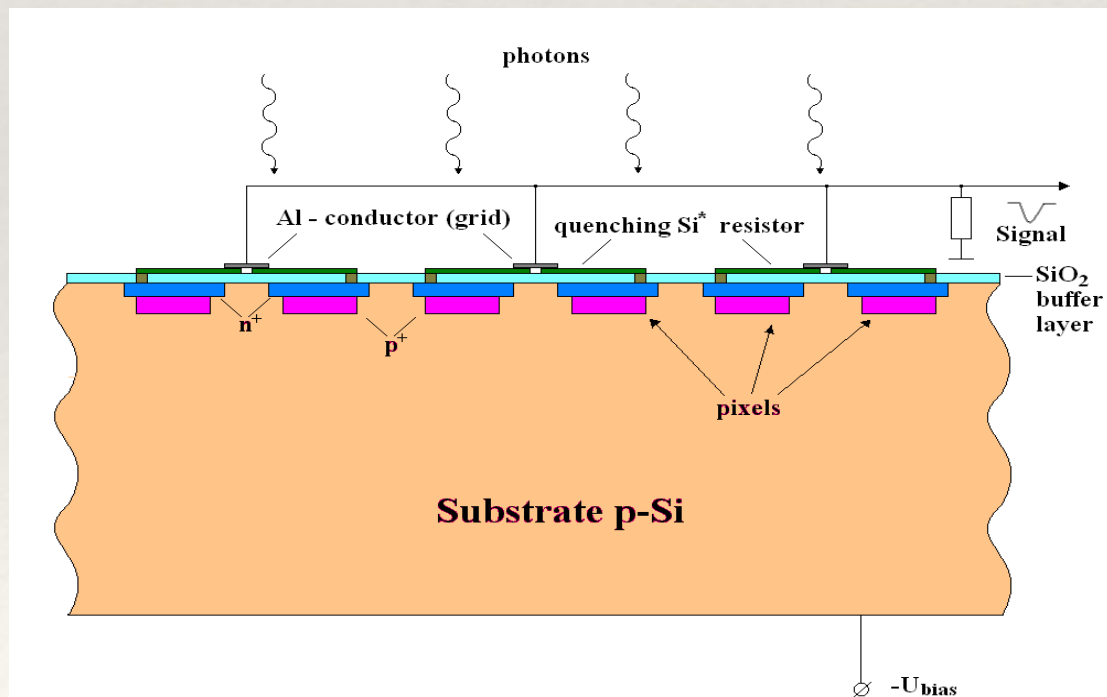
# Измерение временного разрешения кремниевого фотоумножителя

Анфимов Николай  
Рыбников Арсений

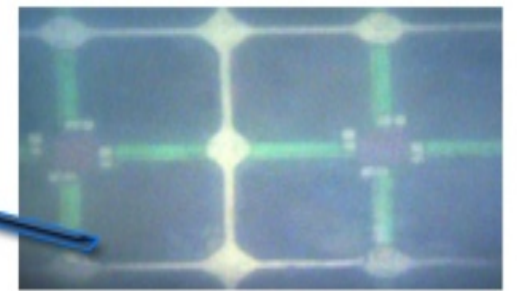
---

# Кремнивый фотоумножитель - SiPM

- ❖ Микروпиксельный лавинный фотодиод - МЛФД (MAPD)
- ❖ Многопиксельный счетчик фотонов - MPPC
- ❖ Твердотельный фотоумножитель - SSPM
- ❖ ...



Общий вид МЛФД на корпусе КТ-1



Микрофотография фрагмента матрицы МЛФД

# Идея метода

MPPC S12572-010C(X).

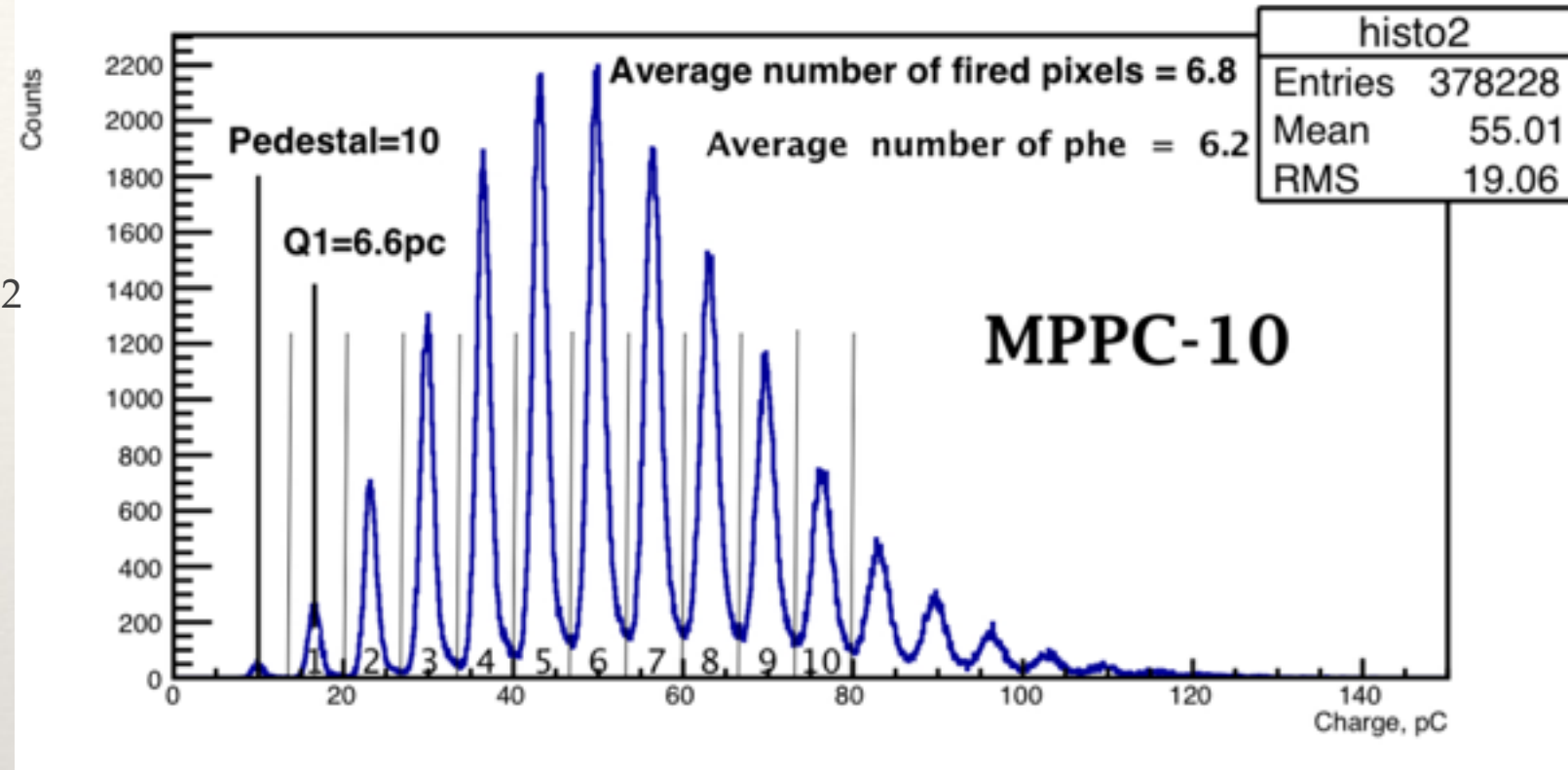
Размер активной области =  $3 \times 3$  мм<sup>2</sup>

Усиление =  $1.5 \cdot 10^5$

Время нарастания (0.1-0.9) = 3 нс

Время спада (0.9-0.1) = 50 нс

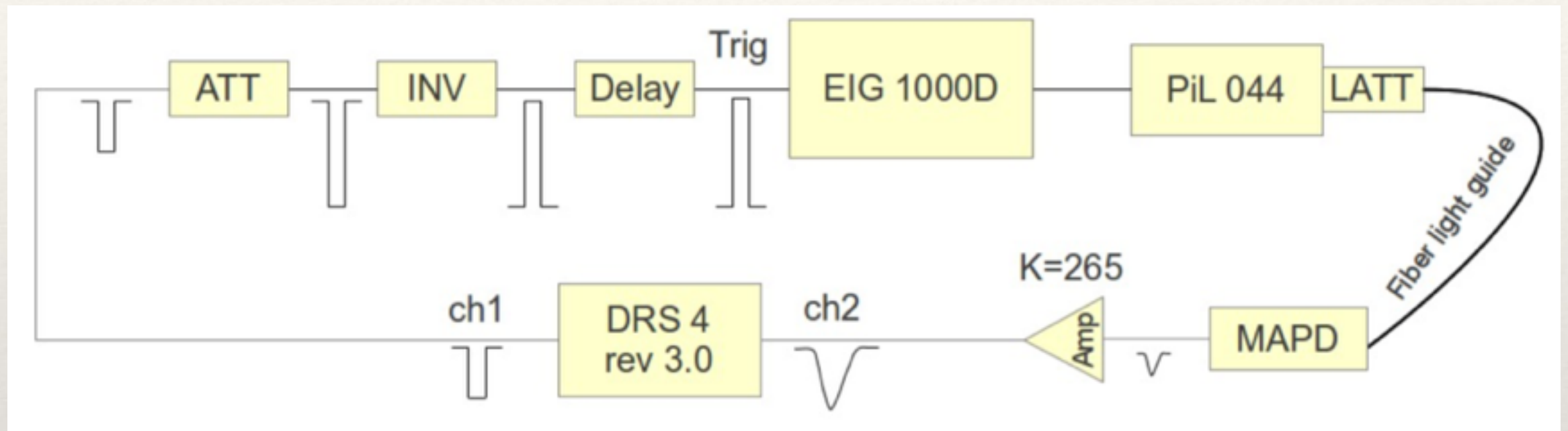
Шумы ~ МГц



- ❖ Поскольку фотодиод обладает хорошим амплитудным разрешением, то легко можно делать селекцию событий соответствующих отклику от 1, 2 и т.д. сработавших пикселей делая совместный амплитудный и временной анализ

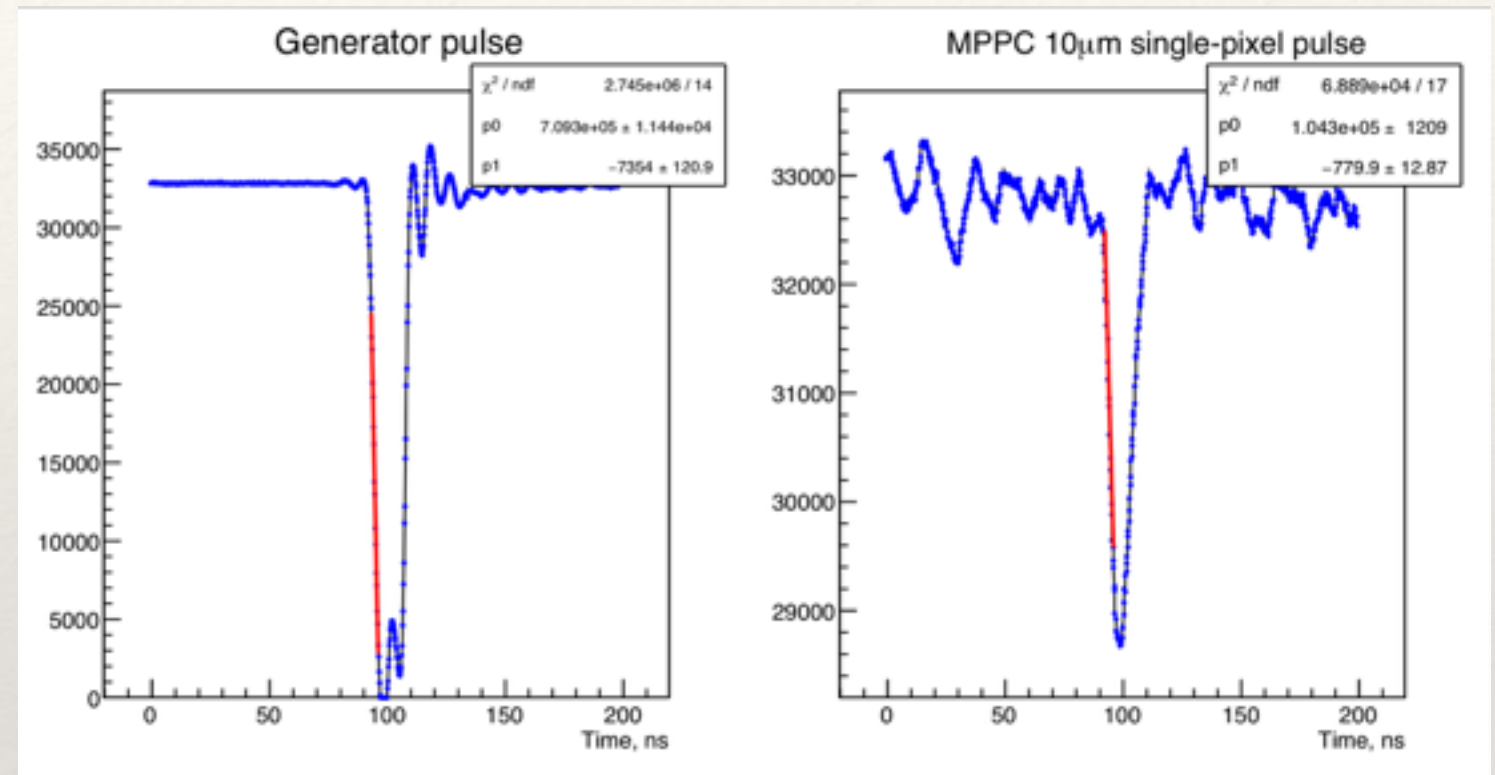
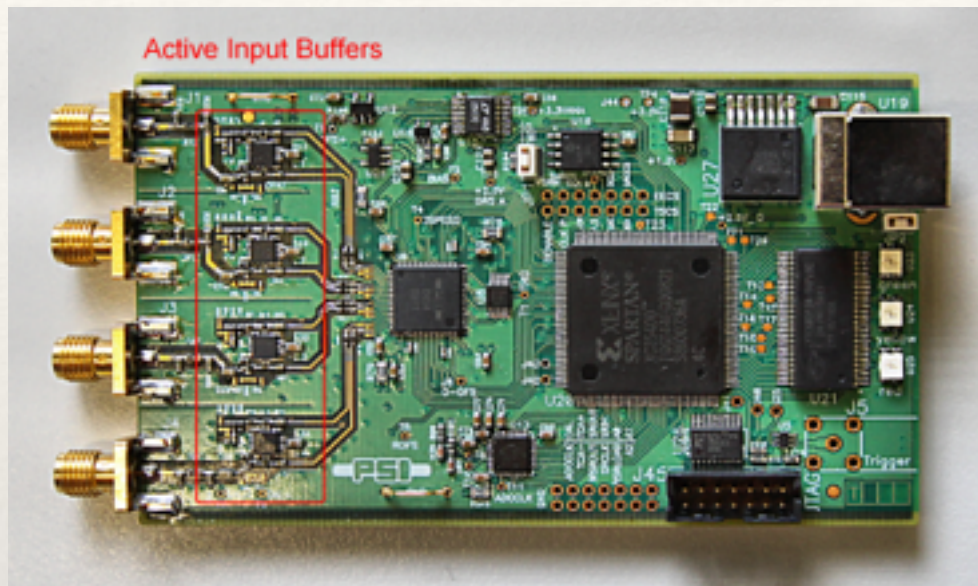


# Схема экспериментальной установки



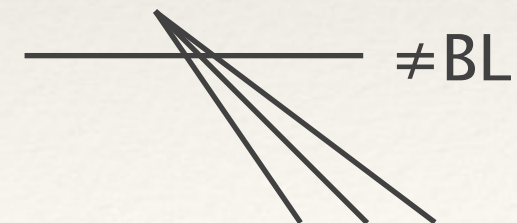
- ❖ PiL044 = Пикосекундный лазер 442 нм, 45 пс
- ❖ EIG 1000D - Генератор импульсов запускающий лазер (идет в комплекте)
- ❖ DRS4 rev 3.0 - АЦП с выборкой по времени (1В / 14 бит, от 1 до 5 ГГц, полоса 700 МГц)
- ❖ Усилитель с усилением  $K=265$ , полоса  $\sim 50$  МГц

# Анализ данных



- ❖ Используется Фурье Фильтр Низких Частот (обрезаются частоты выше 100 МГц) - убираем шумы АЦП
- ❖ Вычисляется базовая линия BL в каждом событии как среднее значение
- ❖ Фронт сигнала аппроксимируется линейной функцией  $p_0 + p_1 \cdot T$
- ❖ Время вычисляется по формуле:

$$T = \frac{BL - p_0 - C}{p_1}$$



- ❖ где C - некоторая константа (находится оптимум минимума флуктуаций времени из-за наклона прямой)



# Определение шкалы

Разветвили сигнал с генератора

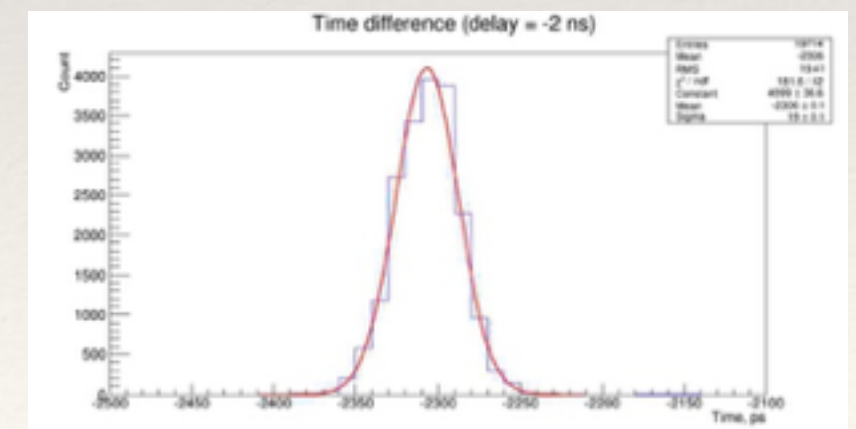
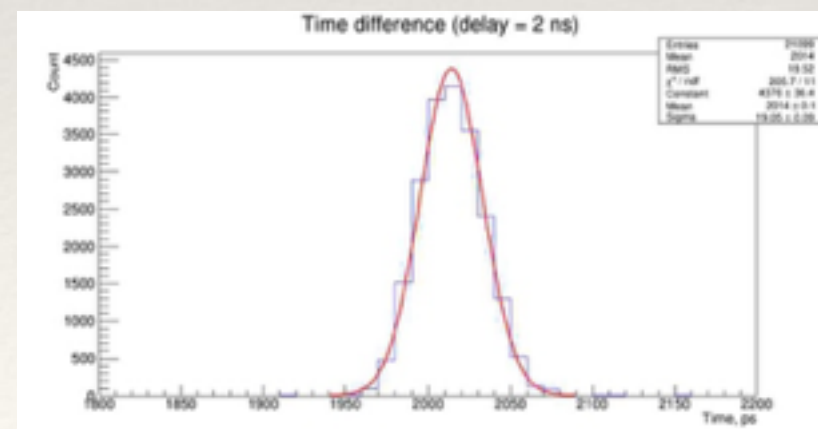
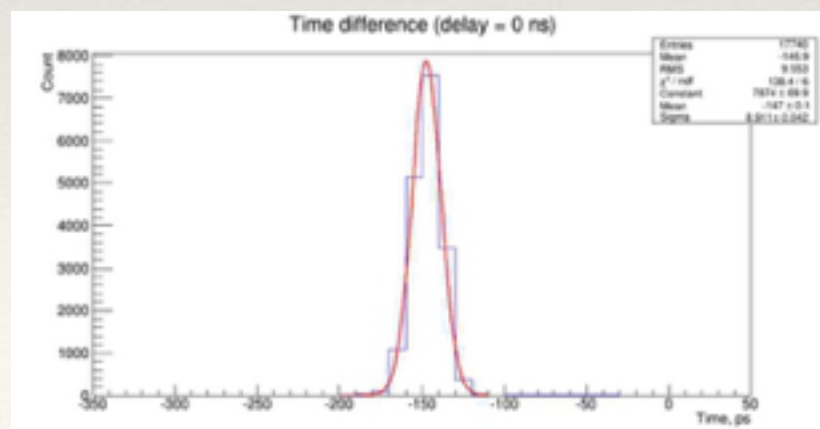
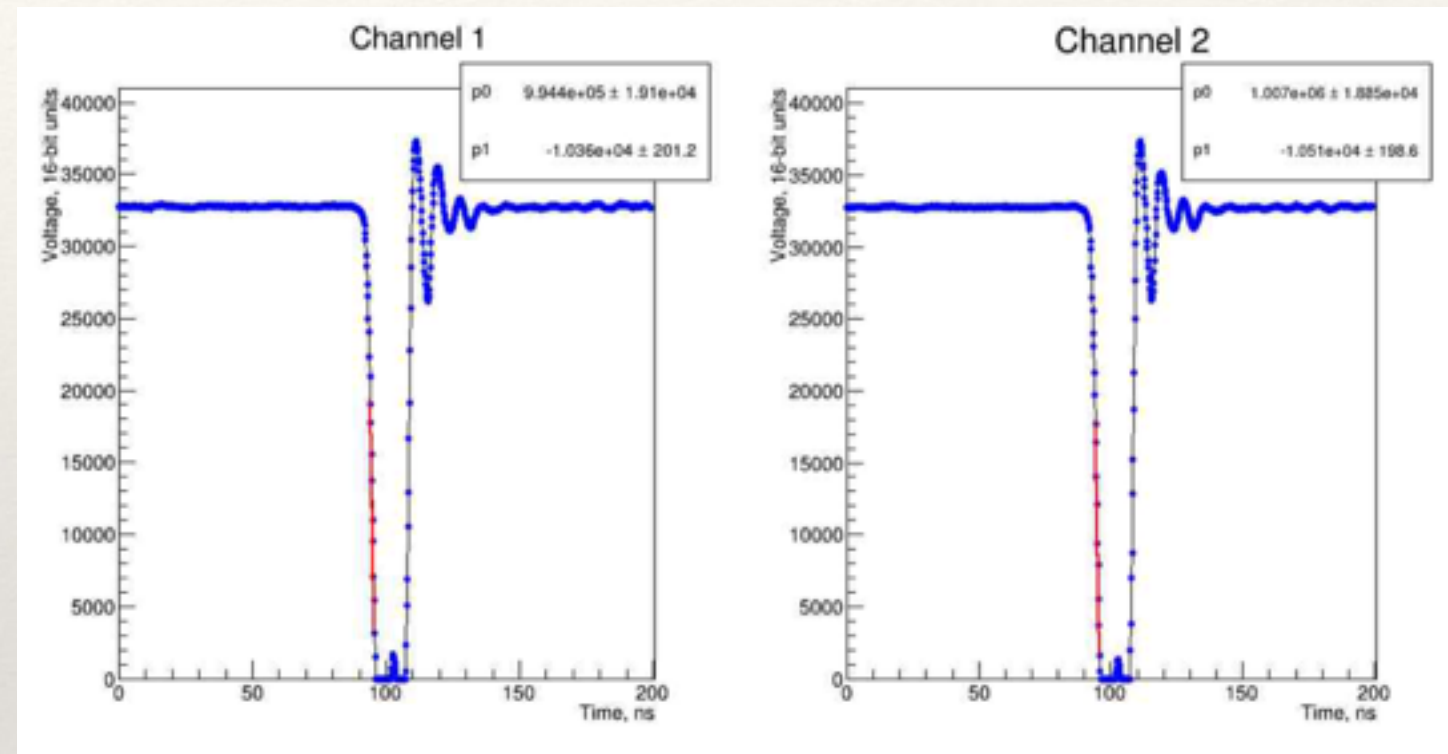
Использовали различные кабельные задержки

0 ns = -147 ps,  $\sigma_T = 9$  ps

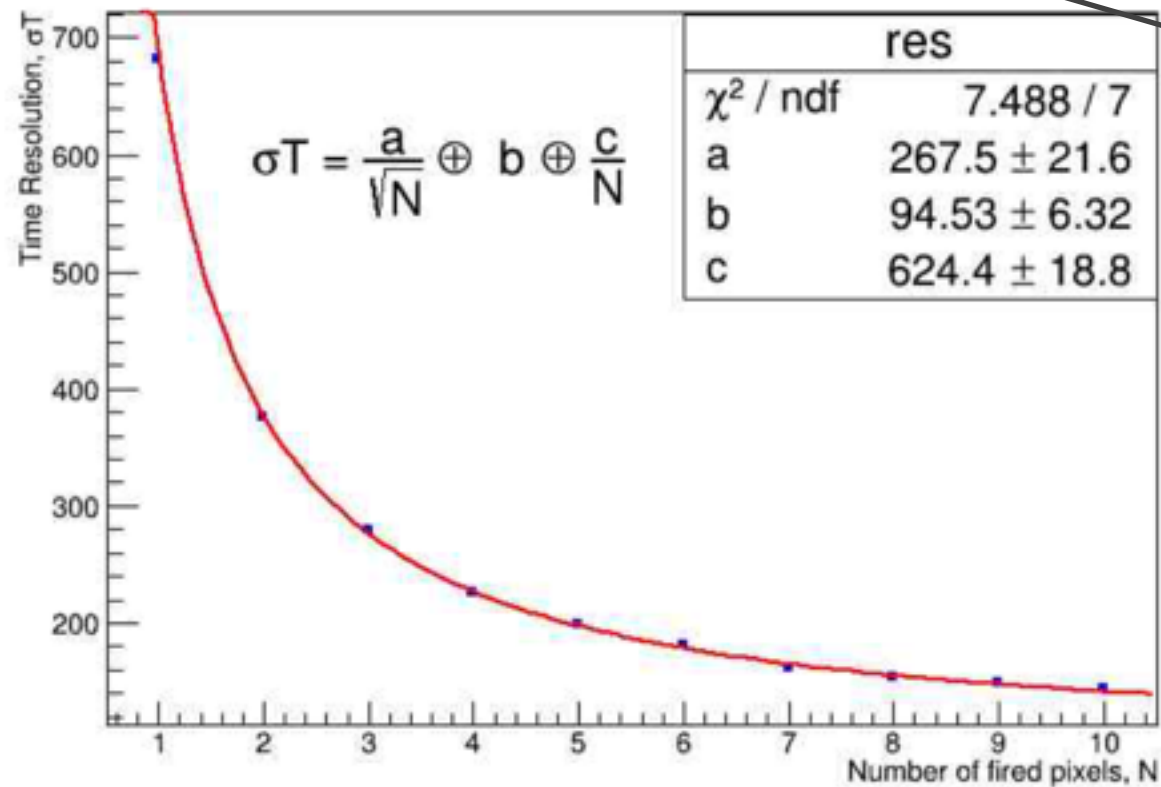
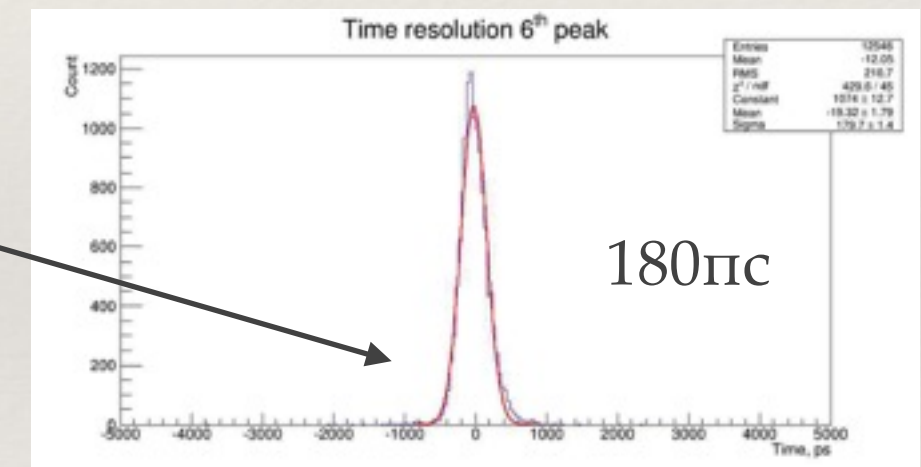
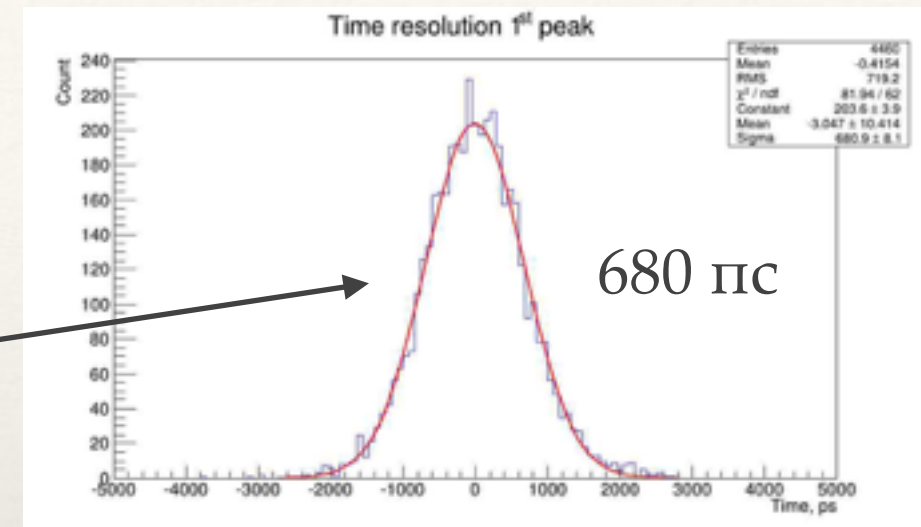
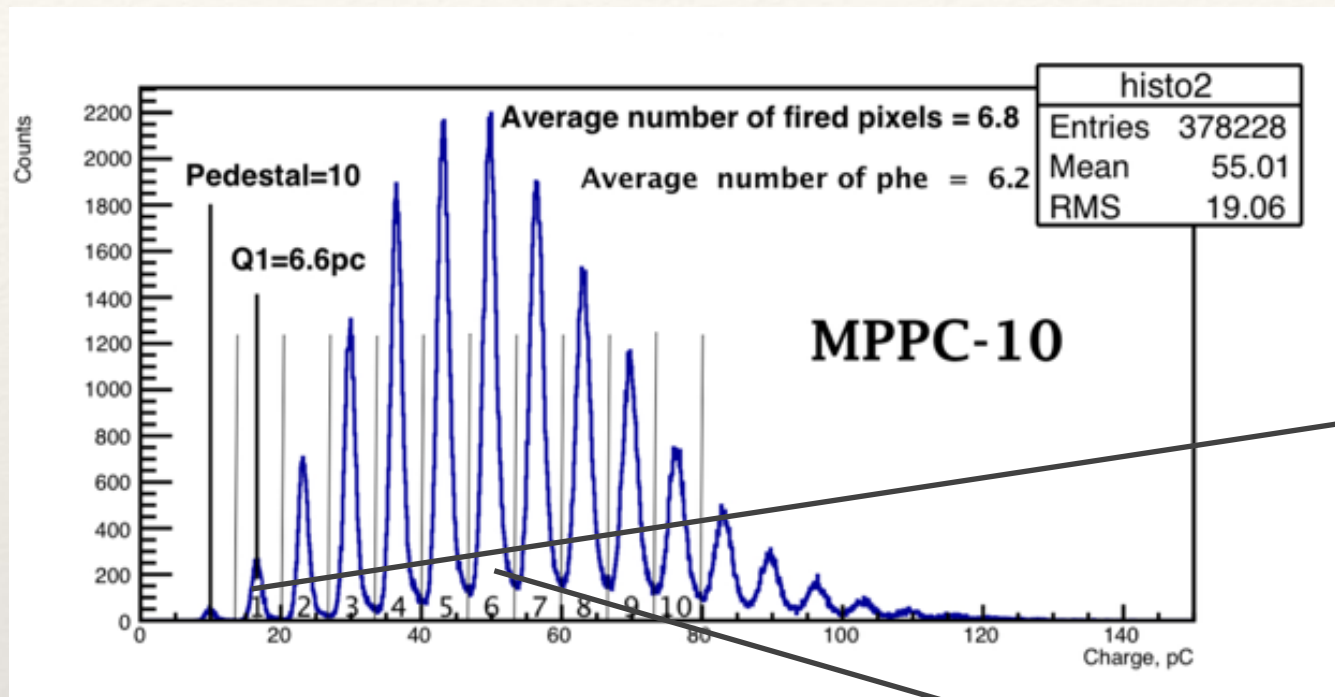
2 ns = 2014 ps ( $\Delta T = 2161$  ps),  $\sigma_T = 19$  ps

-2 ns = 2306 ps ( $\Delta T = 2159$  ps),  $\sigma_T = 19$  ps

Особенность АЦП – чем больше задержка, тем хуже временное разрешение



# Амплитудно-временной анализ



- a - характеризует собственное временное разрешение пикселя
- b - константный член (шумы, диф. нелинейность)
- c - член связанный с соотношением сигнал шум.



# Сравнение результатов

**HAMAMATSU**  
PHOTON IS OUR BUSINESS

## MPPC® (multi-pixel photon counter)

S12572-010, -015C/P

**Low afterpulse, wide dynamic range,  
for high-speed measurement**  
**Photosensitive area: 3 × 3 mm**

These MPPCs utilize very small pixels arrayed at high densities to achieve a high-speed recovery time and wide dynamic range. Hamamatsu currently produces MPPC with a pixel density up to 10000 pixels/mm<sup>2</sup> (pixel pitch: 10 μm). Utilizing advanced technology to enhance photon detection efficiency minimizes the drop in photon detection efficiency that usually occurs due to shrinking the pixel pitch.

### Electrical and optical characteristics (Ta=25 °C, unless otherwise noted)

Parameter	Symbol	S12572				Unit
		-010C	-010P	-015C	-015P	
Spectral response range	λ	320 to 900		320 to 900		nm
Peak sensitivity wavelength	λ <sub>p</sub>	470		460		nm
Photon detection efficiency (λ=λ <sub>p</sub> ) <sup>*4</sup>	PDE	10		25		%
Dark count <sup>*5</sup>	Typ.	1000		1000		kcps
	Max.	2000		2000		
Time resolution (FWHM) <sup>*6</sup>	-	500		400		ps
Terminal capacitance	C <sub>t</sub>	320		320		pF
Gain	M	1.35 × 10 <sup>5</sup>		2.3 × 10 <sup>5</sup>		-
Gain temperature coefficient	ΔTM	1.6 × 10 <sup>3</sup>		3.5 × 10 <sup>3</sup>		/°C
Breakdown voltage	V <sub>BR</sub>	65 ± 10		65 ± 10		V
Recommended operating voltage	V <sub>OP</sub>	V <sub>BR</sub> + 4.5		V <sub>BR</sub> + 4.0		V
Temperature coefficient of recommended operating voltage	ΔTV <sub>OP</sub>	60		60		mV/°C

\*4: Photon detection efficiency does not include crosstalk or afterpulses.

\*5: Threshold=0.5 p.e.

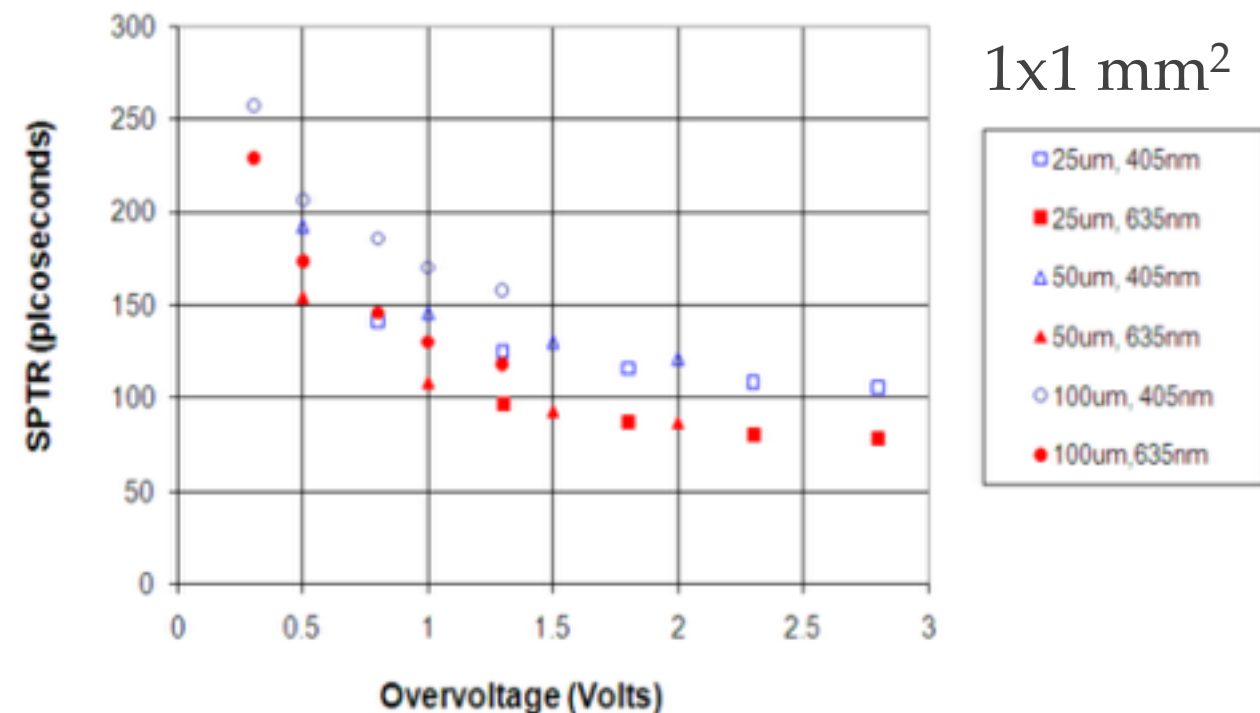
\*6: Single photon level

Note: The above characteristics were measured at the operating voltage that yields the gain listed in this catalog. (Refer to the data attached to each product.)

The last letter of each type number indicates the package type (C: ceramic, P: surface mount type).

500 ps (FWHM) ~ 215 ps

Странно, но для диода с 15 мкм пикселем заявлено 400 ps. Хотя результаты других измерений демонстрируют обратную зависимость





# Оптимизация интенсивности света для калибровки фотодетекторов

Анфимов Николай  
Рыбников Арсений  
Сотников Альберт

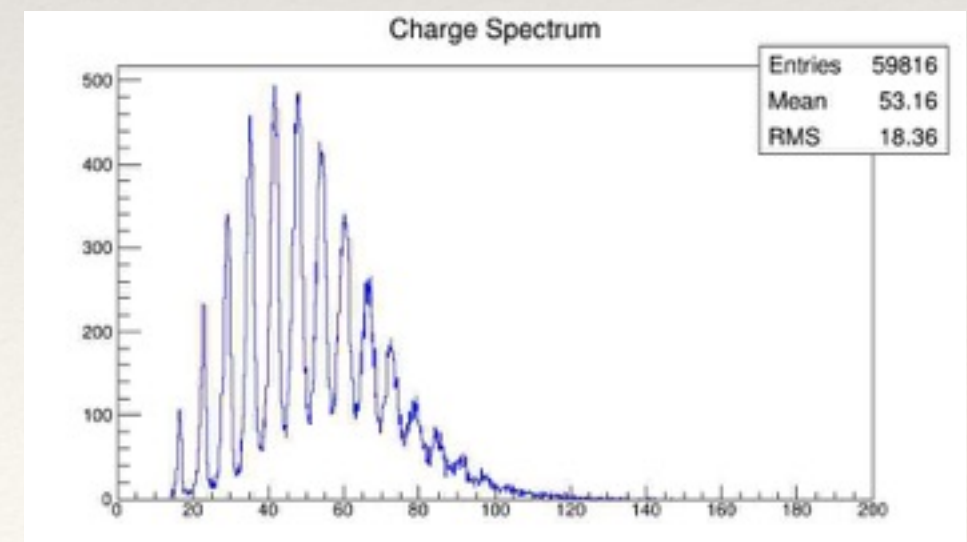
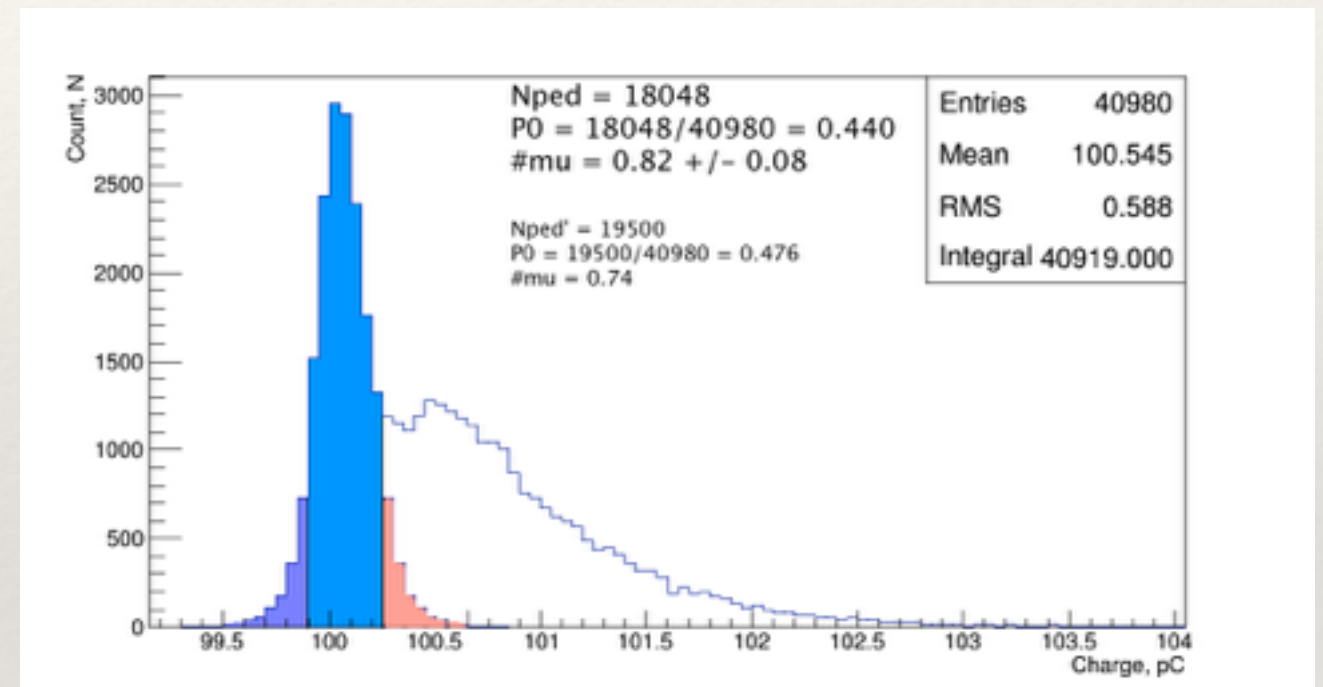
$$P_n = \mu^n \frac{e^{-\mu}}{n!},$$

$$P_n = N_n / N$$

$$P_0 = e^{-\mu}$$

$$\mu = -\ln(P_0) = -\ln(N_0/N),$$

А как зависит точность?



# Оптимизация интенсивности света для калибровки фотодетекторов

$$P_n = \mu^n \frac{e^{-\mu}}{n!},$$

$$P_n = N_n/N$$

$$\mu = -nW\left(-\frac{\sqrt[n]{P_n n!}}{n}\right)$$

$$\sigma_{\mu_n} = \left| \frac{d\mu}{dN_n} \right| \sigma_{N_n},$$

$$\sigma_{N_n} = \sqrt{N P_n q_n}$$

$$\sigma_{\mu_n} = \left| \frac{d\mu}{dP_n} \frac{dP_n}{dN_n} \right| \sigma_{N_n} = \frac{1}{N} \left| \frac{d\mu}{dP_n} \right| \sigma_{N_n}$$

$$\frac{d\mu}{dP_n} = \left( \frac{dP_n}{d\mu} \right)^{-1}$$

$$\frac{dP_n}{d\mu} = \frac{P_n(n-\mu)}{\mu}$$

$$\sigma_{\mu_n} = \frac{1}{\sqrt{N}} \left| \frac{\mu}{(n-\mu)} \right| \sqrt{\frac{q_n}{P_n}}$$

$$\frac{\sigma_{\mu_n}}{\mu} = \frac{1}{\sqrt{N}} \sqrt{\frac{\mu^{-n} e^{\mu} n! - 1}{(\mu - n)^2}}$$



# Оптимизация интенсивности света для калибровки фотодетекторов

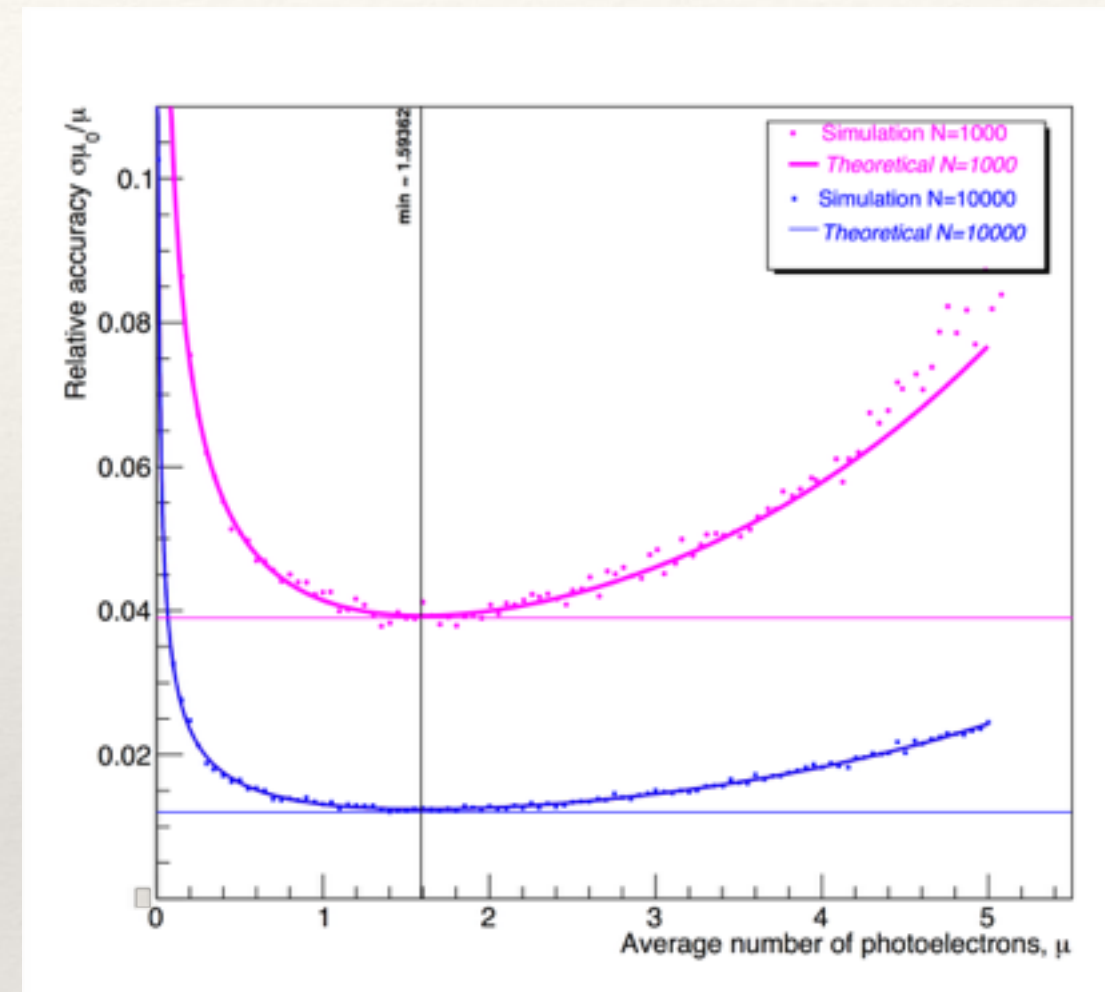
$$P_n = \mu^n \frac{e^{-\mu}}{n!},$$

$$P_n = N_n / N$$

$$P_0 = e^{-\mu}$$

$$\mu = -\ln(P_0) = -\ln(N_0 / N),$$

$$\frac{\sigma_{\mu_0}}{\mu} = \frac{1}{\sqrt{N}} \sqrt{\frac{e^{\mu} - 1}{\mu^2}}$$



Есть оптимум  $\mu = 1.59$

Данный случай также обсуждался в

---

# Где это может быть важно

---

- ❖ Массовые тесты фотодетекторов: SiPM, PMT и др
- ❖ Детальное изучение дифференциальных характеристик по поверхности. Пример: сканирующая станция в JUNO -  $7\text{LED} \times 24\text{Угла} = 168$  точек (1 ФЭУ). 10000 событий (500 Гц) - 1 час набора! + перемещения, переключения - 1.5 часа. Проверить надо 1000 ФЭУ!
- ❖ Изучение принципов работы, свойств фотодетектора по различным фотоэлектронным пикам.
- ❖ и др.



*Результаты совместной работы ОИЯИ - Карлов Университет*

---

# Сканирование МЛФД лазерным пучком

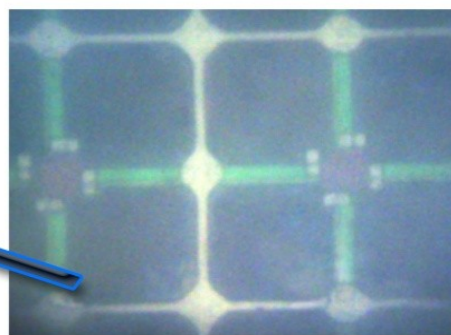
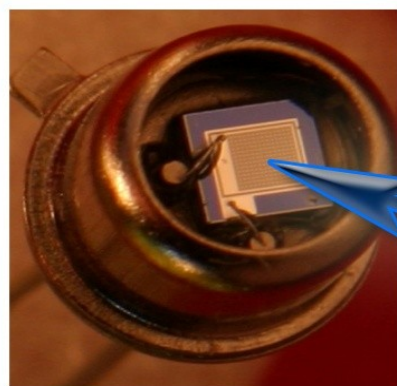
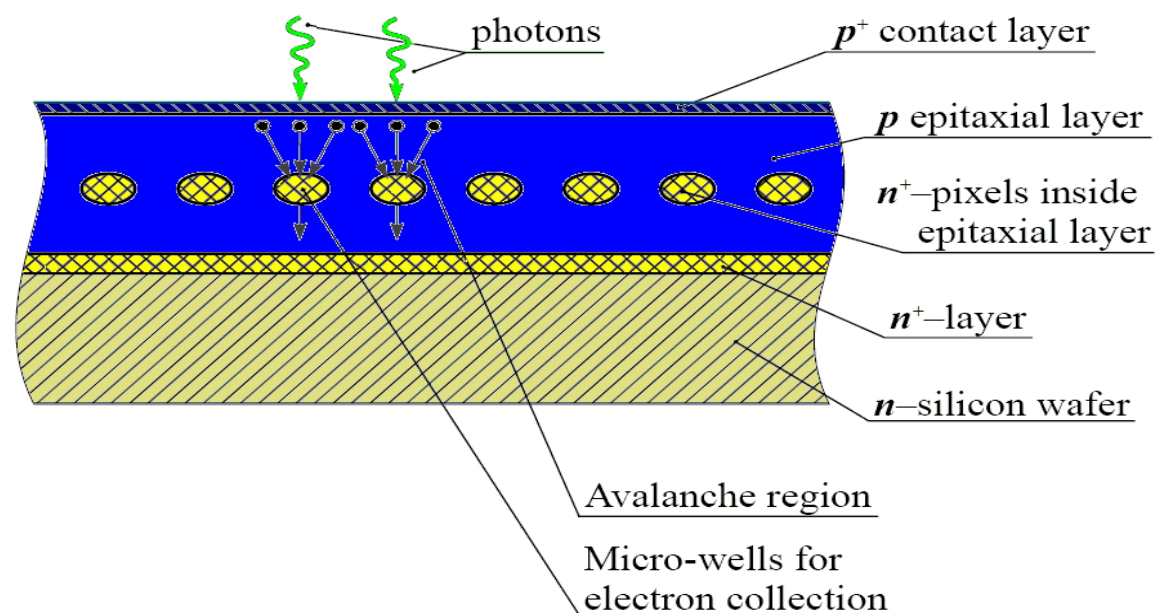
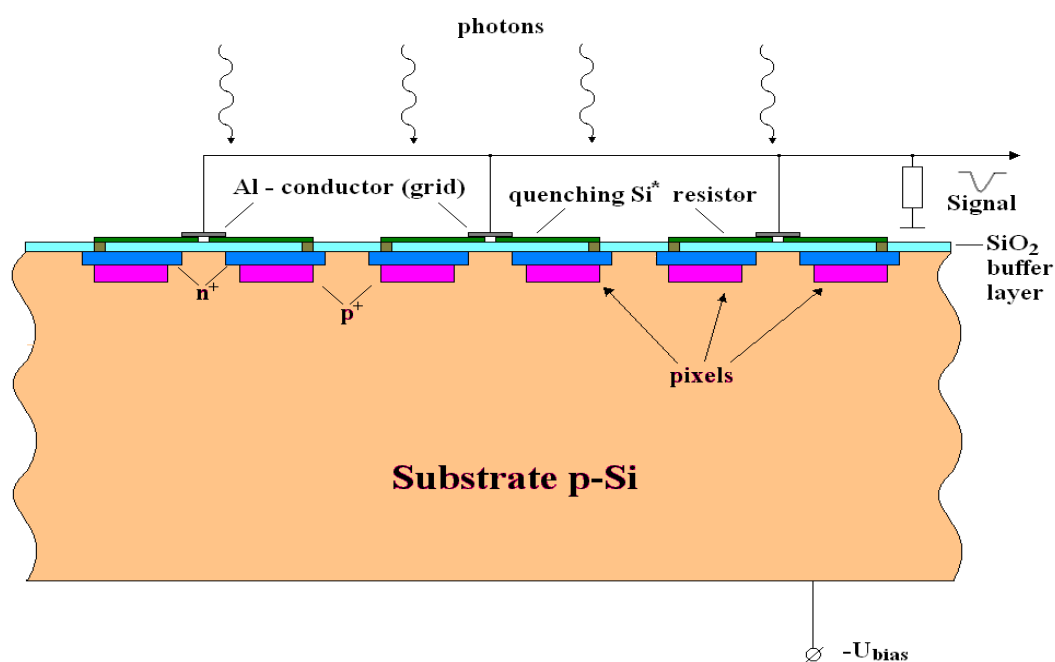
Николай Анфимов  
Игорь Чириков-Зорин  
Зиновий Крумштейн  
Александр Ольшевский  
Петер Кодыш  
Вит Воробел  
Руперт Лейтнер

---

# Микропиксельные лавинные фотодиоды.

пиксель >10 мкм

пиксель <10 мкм

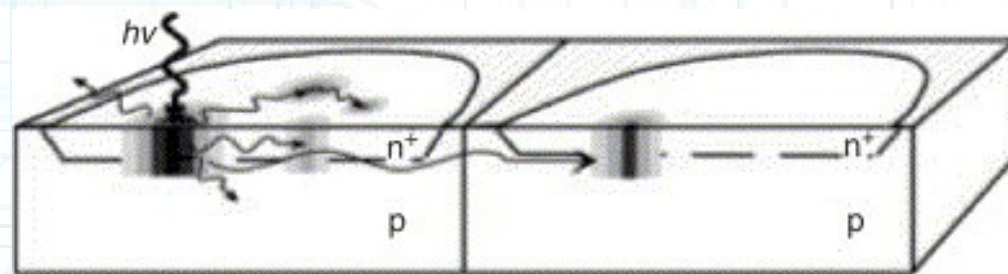




# Основные характеристики МЛФД: Коэффициент усиления и перекрестные наводки

Коэффициент усиления МЛФД в отсутствие перекрестных наводок равен усилению пикселя:

$$G_{det} = G_{pix}$$



Перекрестные наводки увеличивают коэффициент усиления МЛФД:

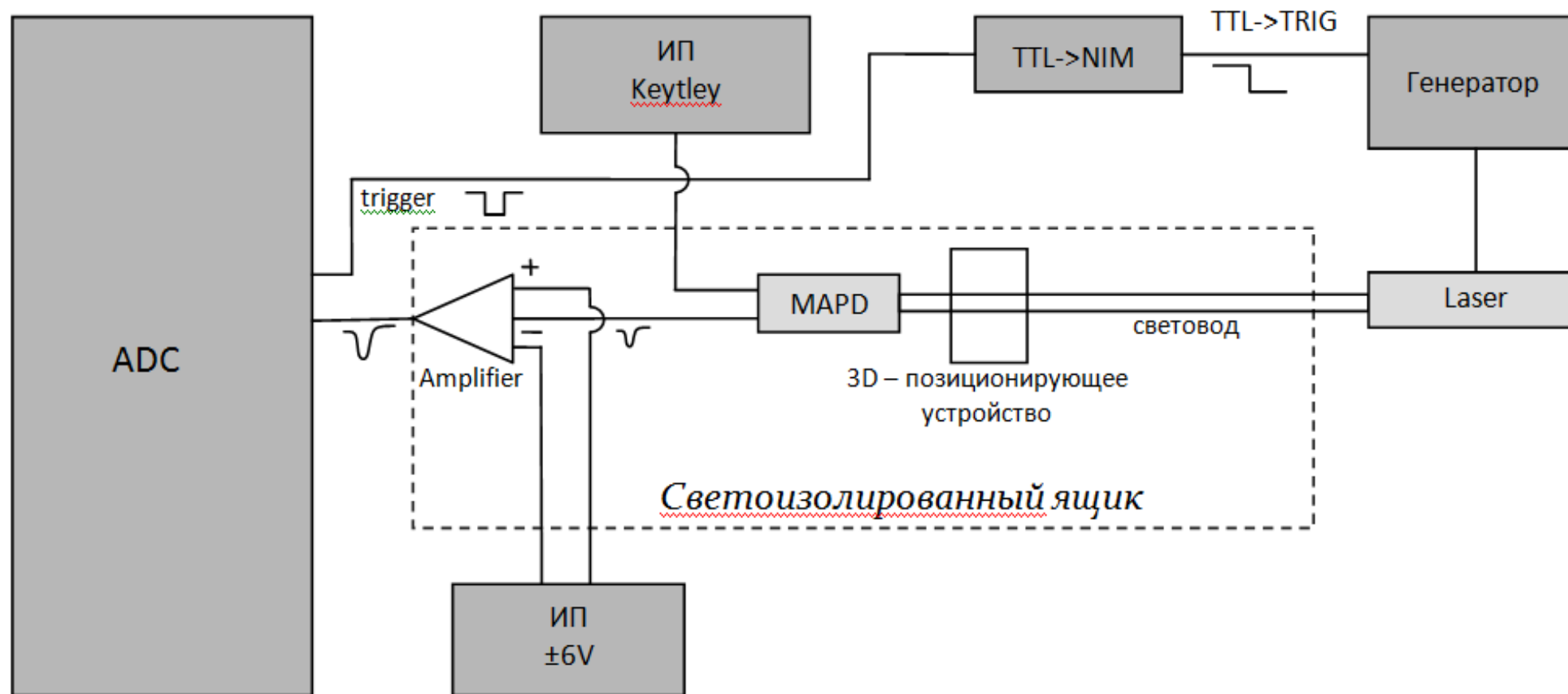
$$G_{det} = n \cdot G_{pix}$$

где  $n$  – среднее число пикселей сработавших на единственный фотоэлектрон или фактор перекрестных наводок.

Перекрестные наводки уменьшают диапазон линейности и увеличивают уровень шумов.

о перекрестных наводках, например, написано тут:

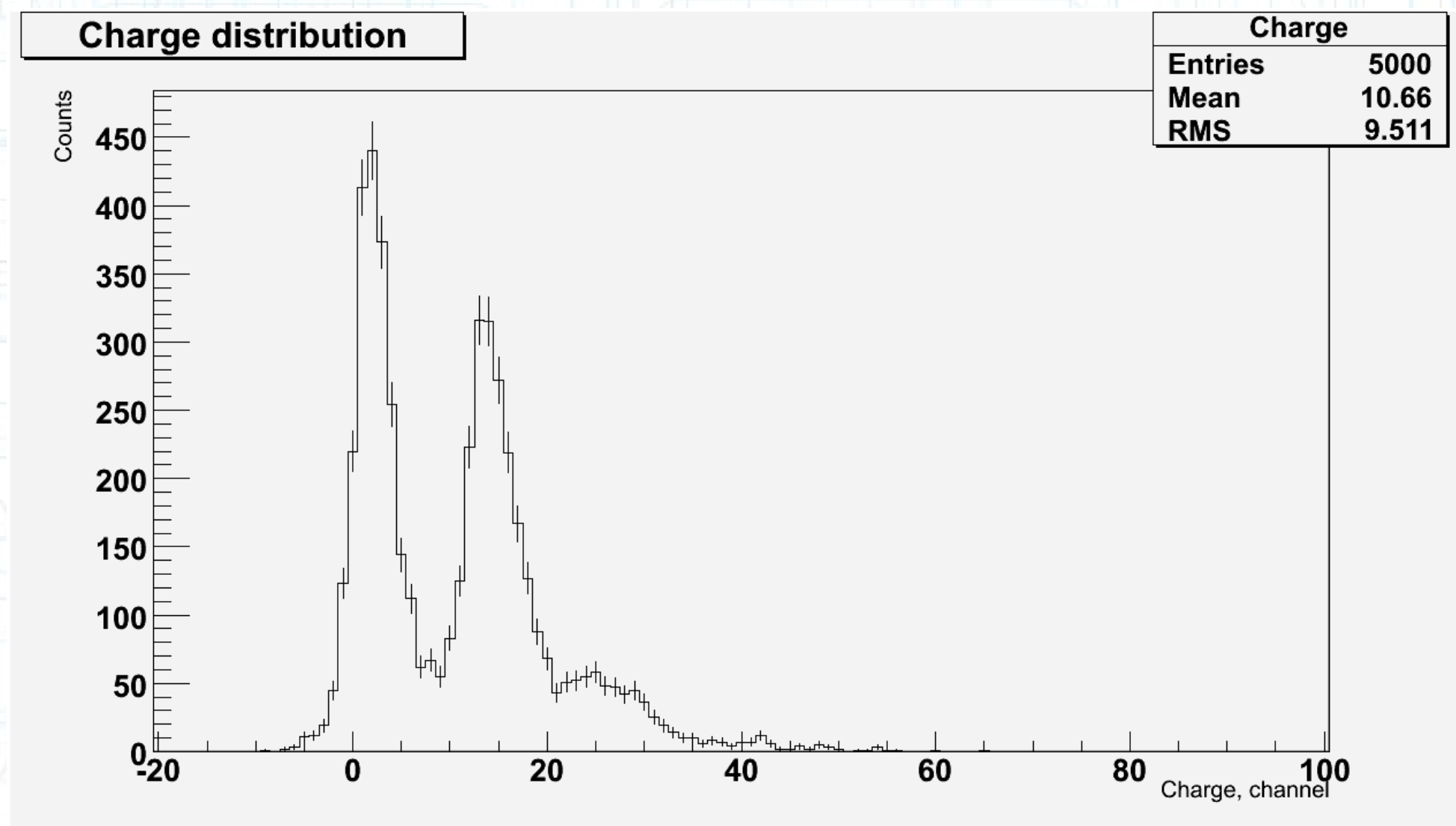
# Экспериментальная установка (блок-схема)





# ”Однопиксельные” спектры MAPD-2

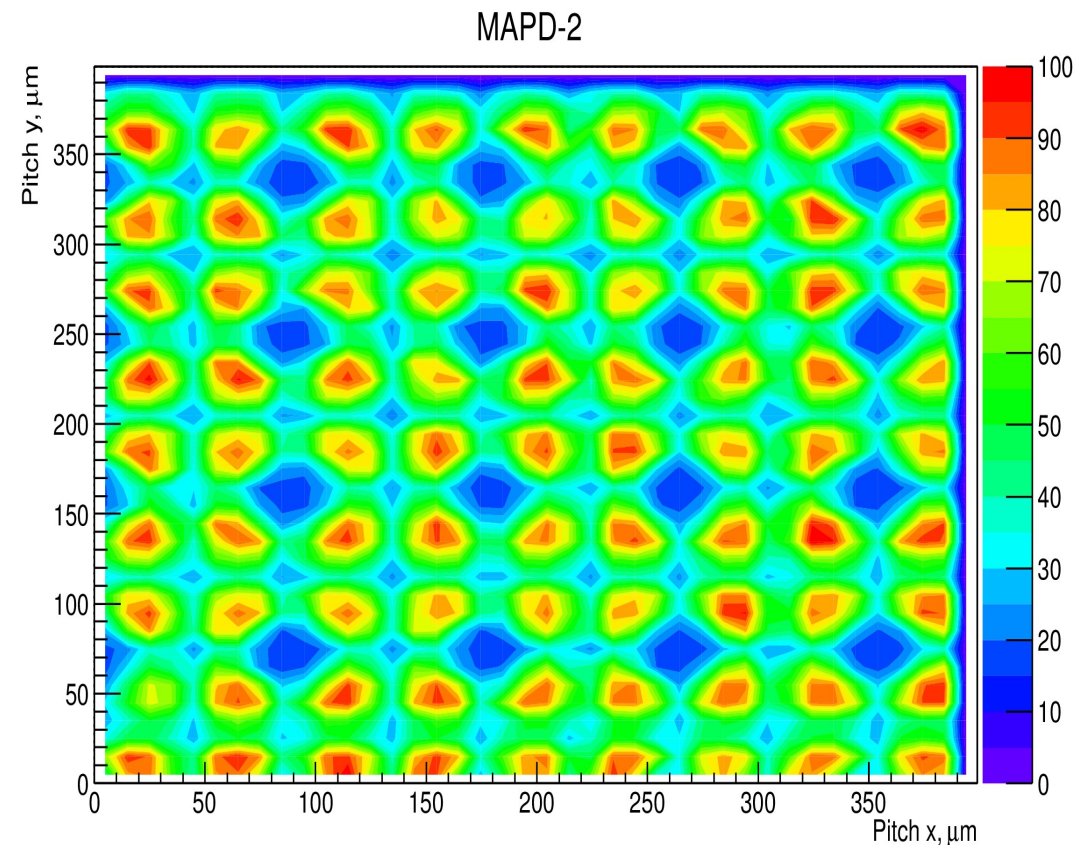
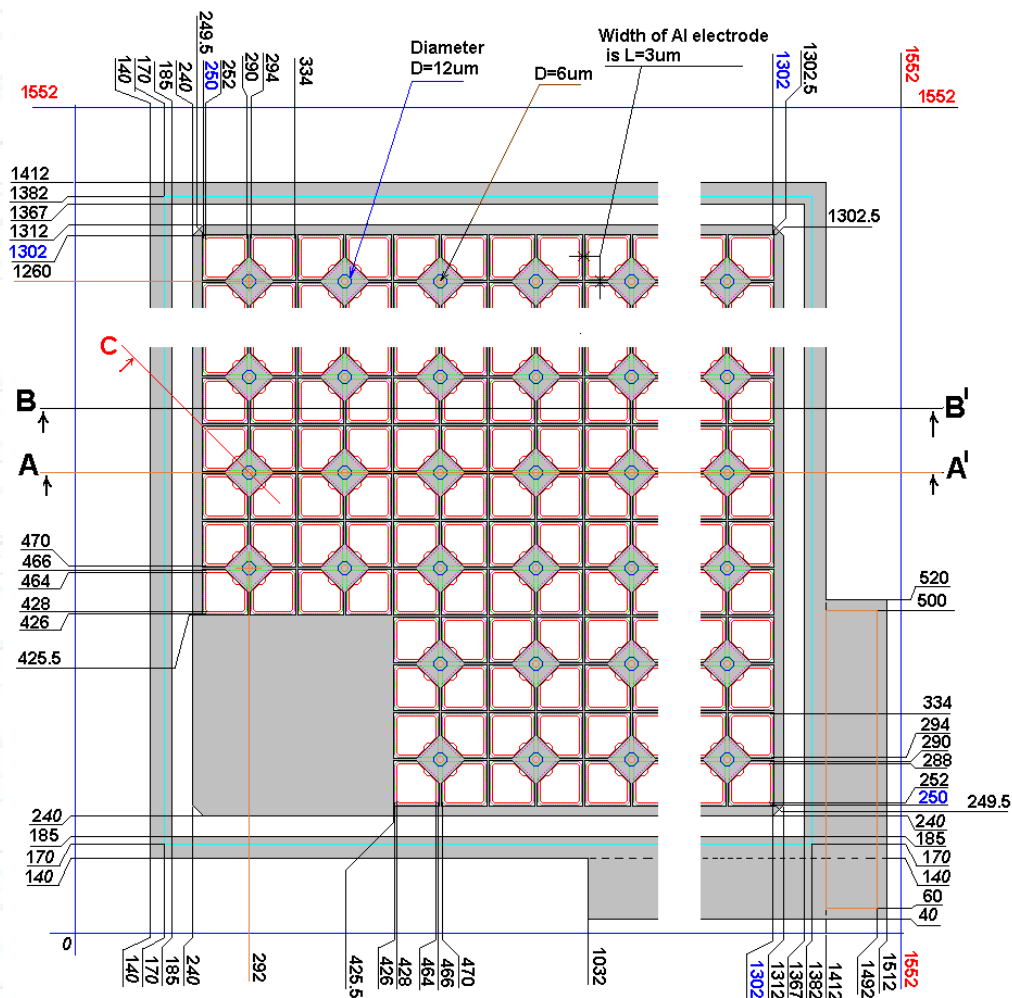
- Размер пятна лазера ( $\sigma \approx 1$  мкм). Размер пикселя = 41 мкм.
- При попадании в центр пикселя должны быть видны исключительно однопиксельные амплитуды. Однако, из-за эффекта перекрестных наводок видны и большие амплитуды.



# Распределение относительной величины PDE по поверхности MAPD-2

Sensitive area =  $1.05\text{mm} \times 1.05\text{mm} = 1.1\text{mm}^2$   
 Total number of pixels:  $24 \times 24 - 4 \times 4 = 576 - 16 = 560$  pixels  
 Density of pixels:  $520 \text{ pixels/mm}^2$  Geometric transparency  $\sim 62\%$

MAPD-2



Измеренный "фактор заполнения"  
 $0.58 \pm 0.07$

Расчетный фактор заполнения = 0.62

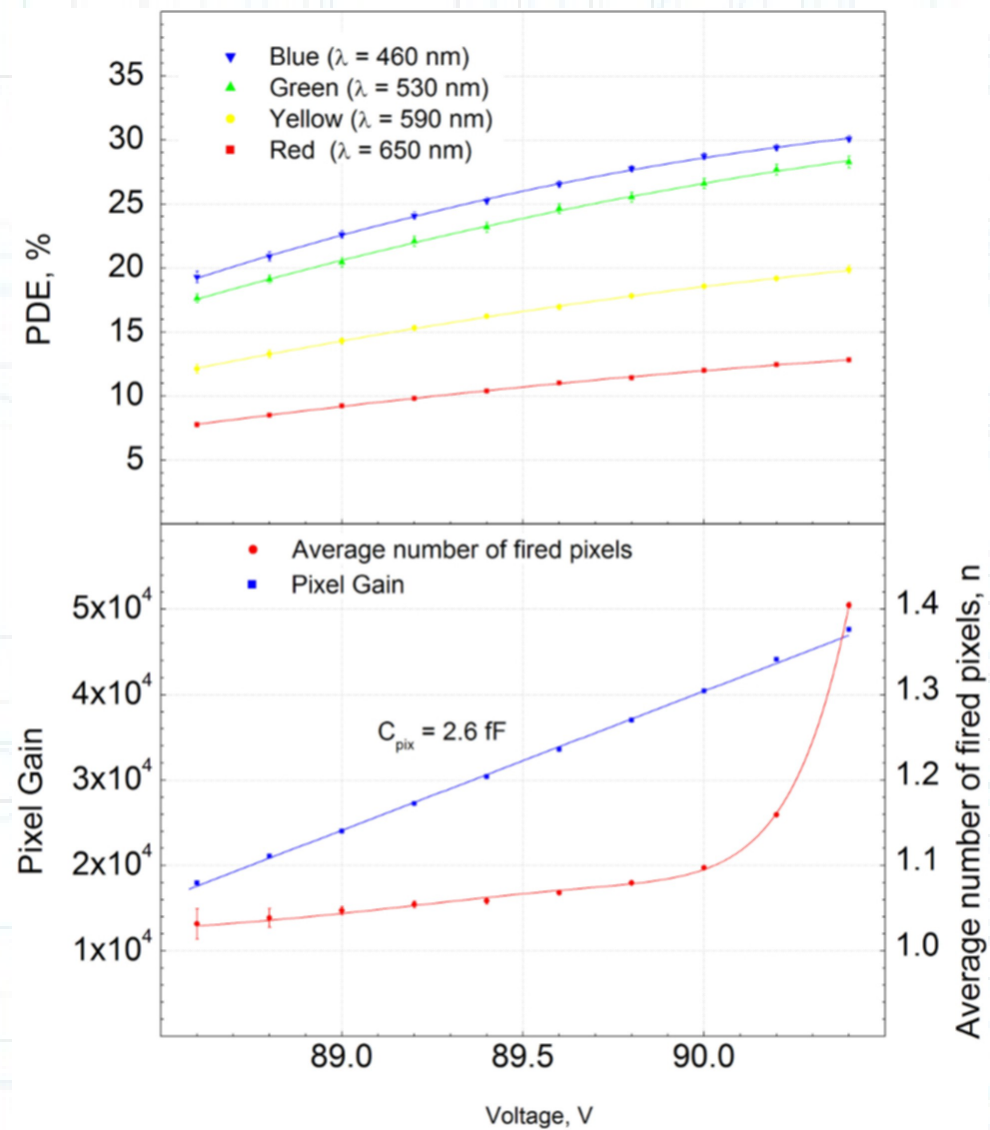
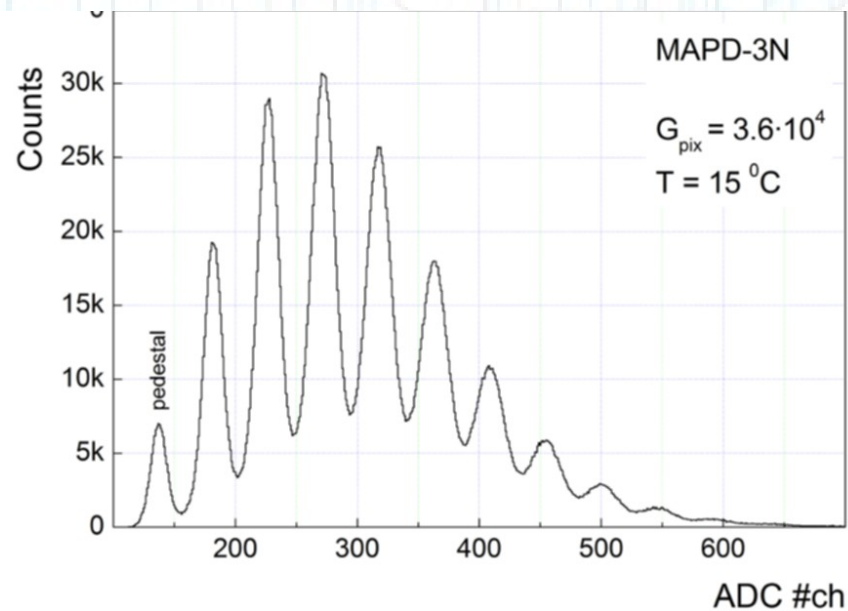
Однородность пикселей по  
 эффективности  $< 5\%$

Однородность пикселей по  
 усилению  $< 9\%$



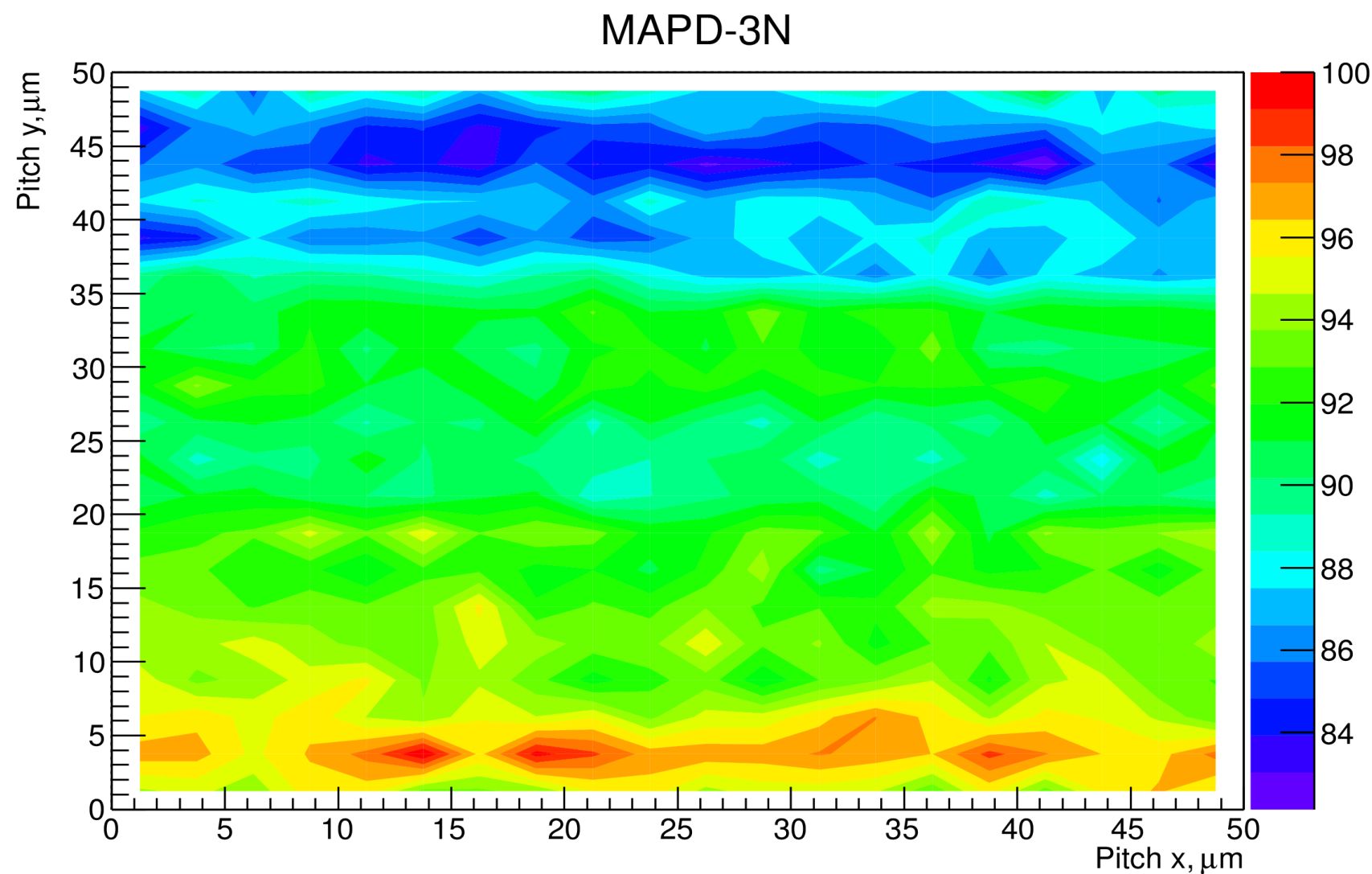
# Сканирование глубинного фотодиода MAPD-3N

- Размер пикселя  $d = 5$  мкм.
- Шаг между пикселями  $h = 8$  мкм.
- Плотность пикселей  $15\,000\text{ мм}^{-2}$ .
- Рабочее напряжение  $89 - 95$  В
- Квадратная упаковка пикселей.



# Первые трудности с глубинным МЛФД (Прага, КУ, 2009 г.)

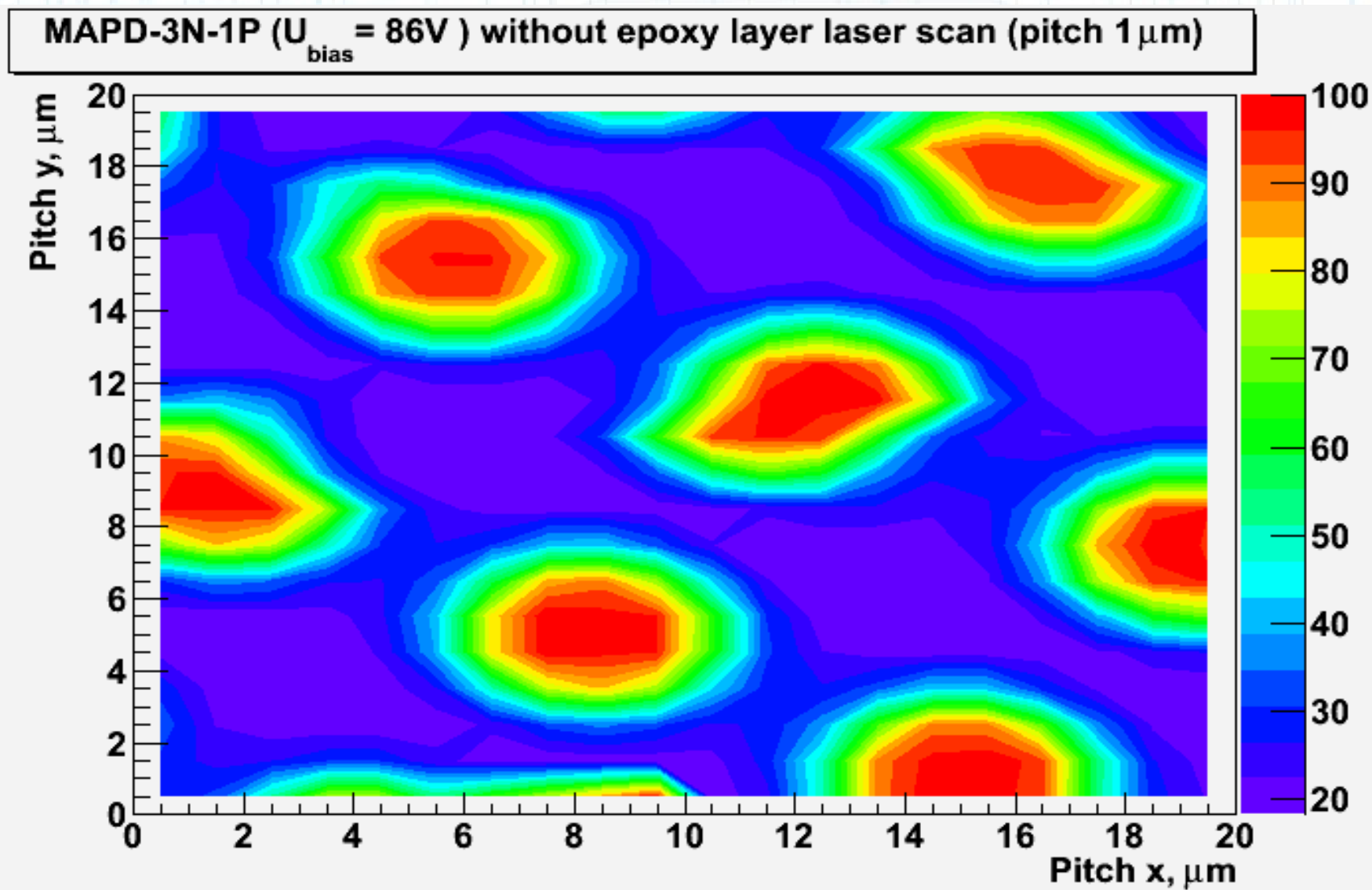
- Нужно работать без эпоксидного слоя.
- Необходима электроника позволяющая работать в однофотозлектронном режиме.





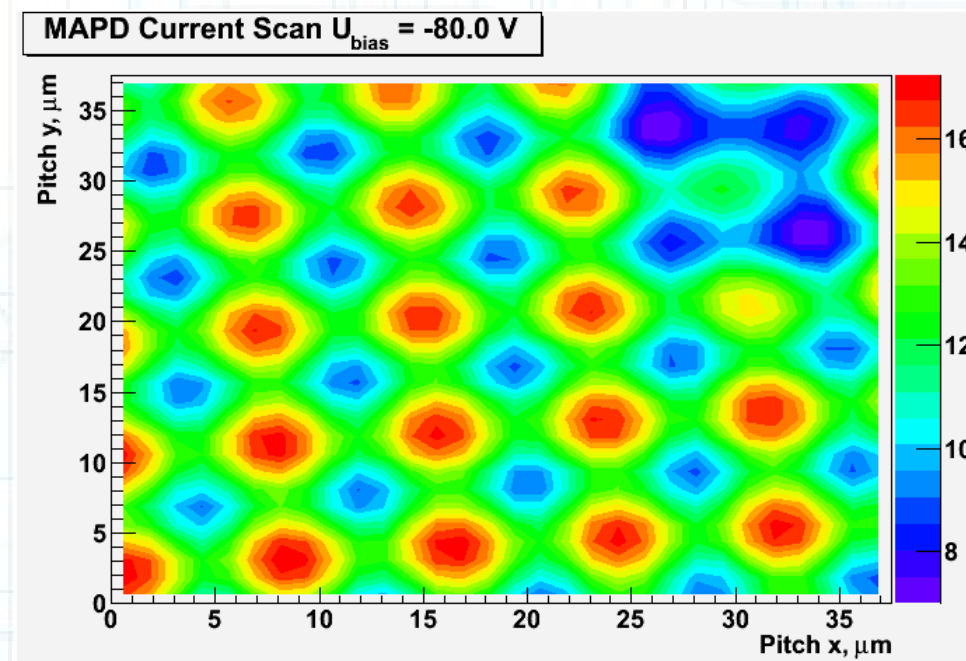
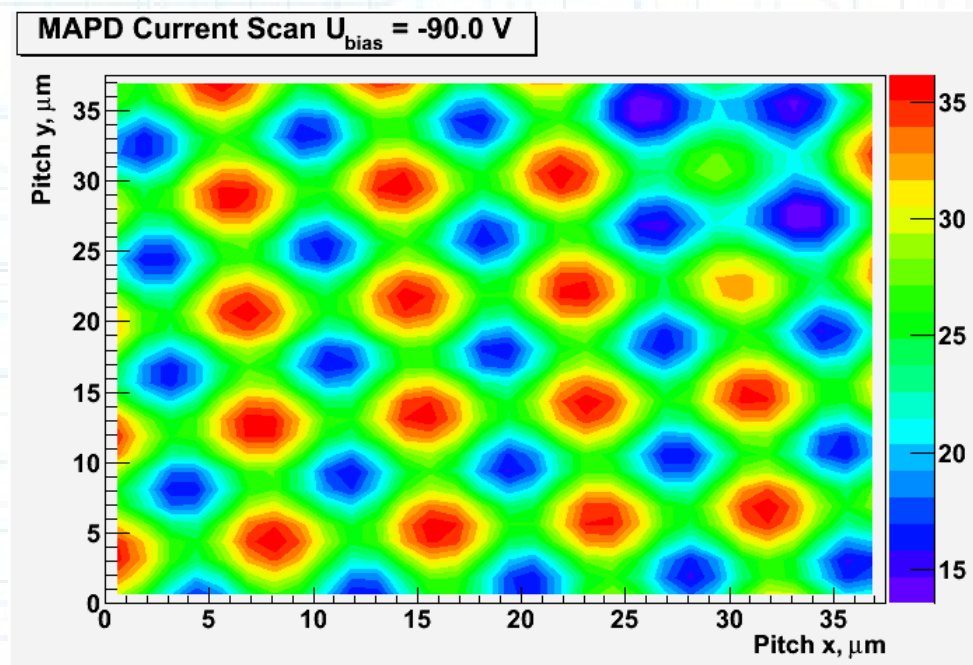
# Первые измерения в токовом режиме (филиал НИИЯФ МГУ лето 2011 г)

- Использовался голубой ( $\lambda=442$  нм) лазер конфокального микроскопа в филиале НИИЯФ МГУ), размер пятна ( $\sigma < 0.8$  мкм)
- Шаг позиционирования (X-Y) лазера от 50 нм.
- Измерялся фототок при помощи пикоамперметра Keithley.
- Фотодиод без эпоксидного слоя.



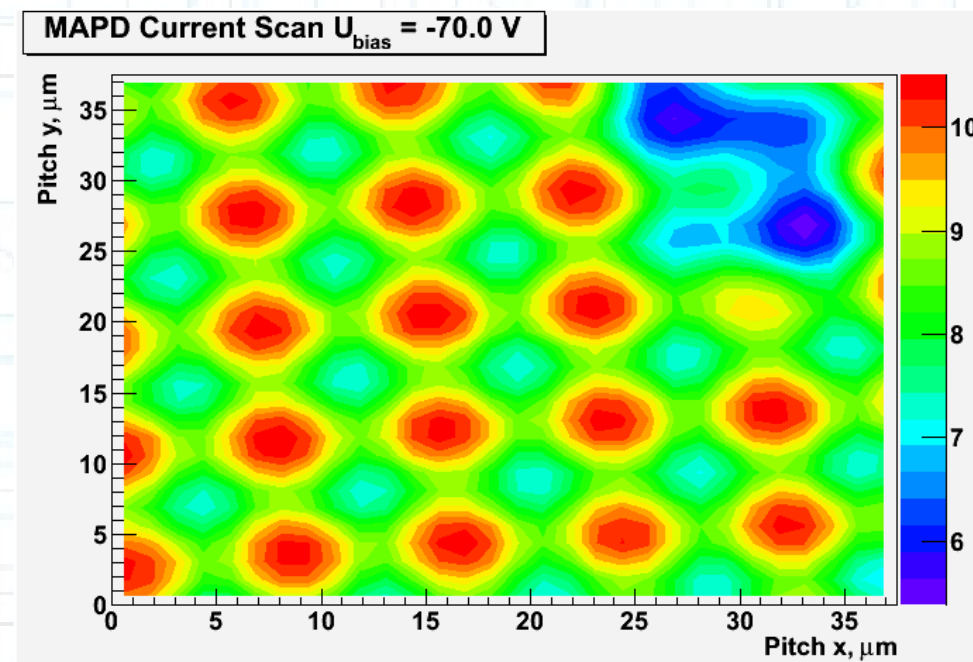
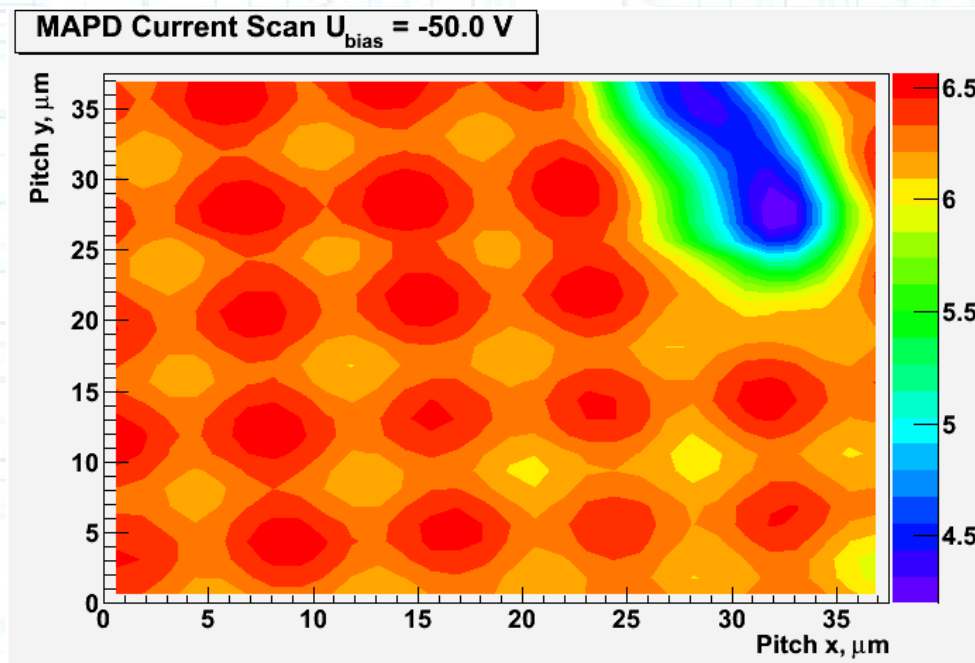
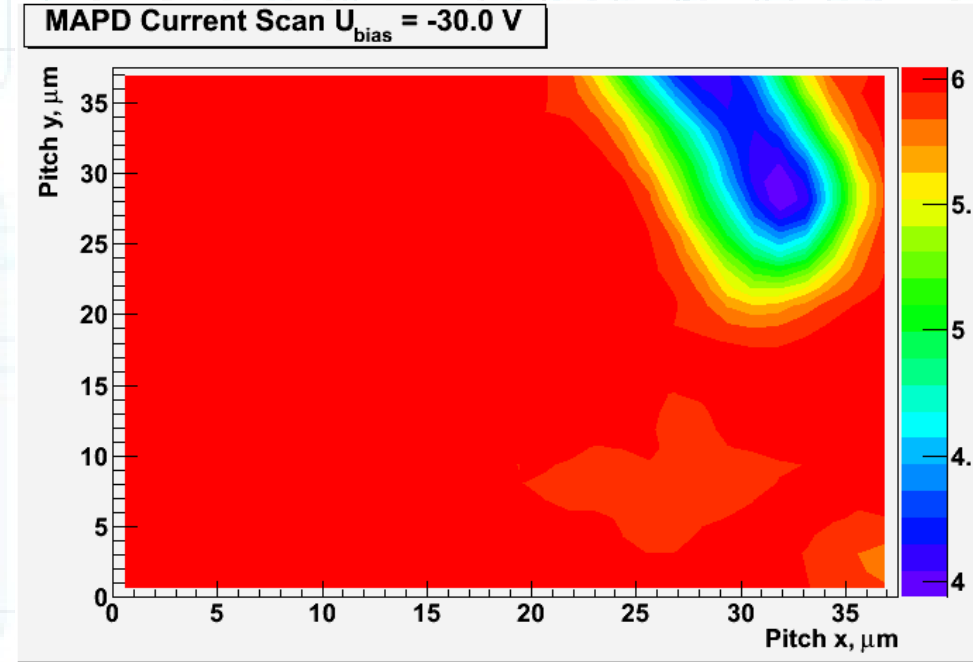
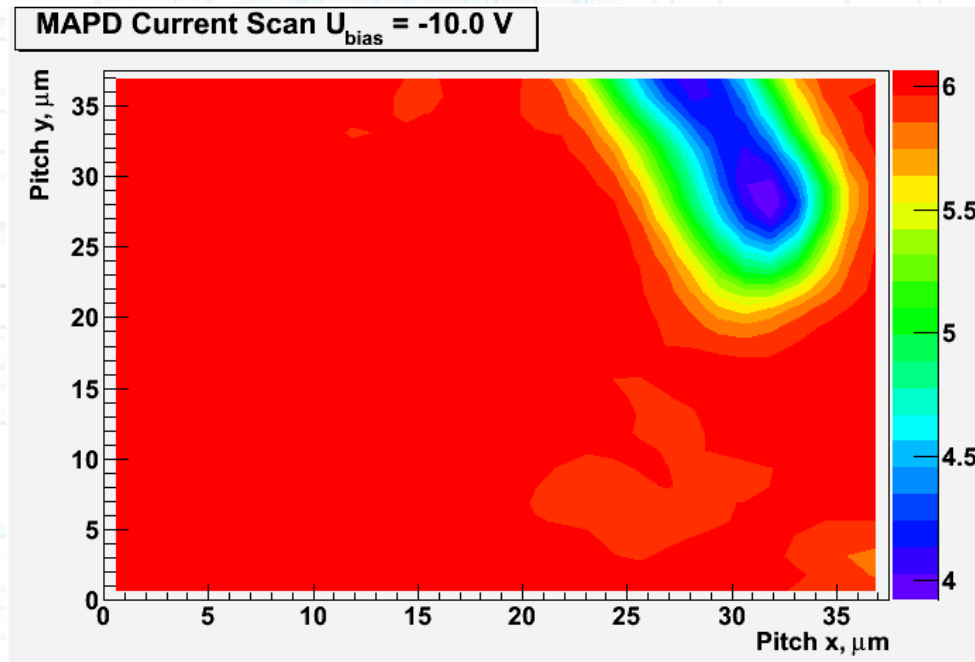
# Измерения в токовом режиме (Прага, КУ зима 2012 г)

- Использовались образцы MAPD-3N без эпоксидного слоя.
- Схема измерений как и в предыдущем случае
- Использовался красный ( $\lambda=660$  нм) лазер. Размер пятна ( $\sigma \approx 1$  мкм).



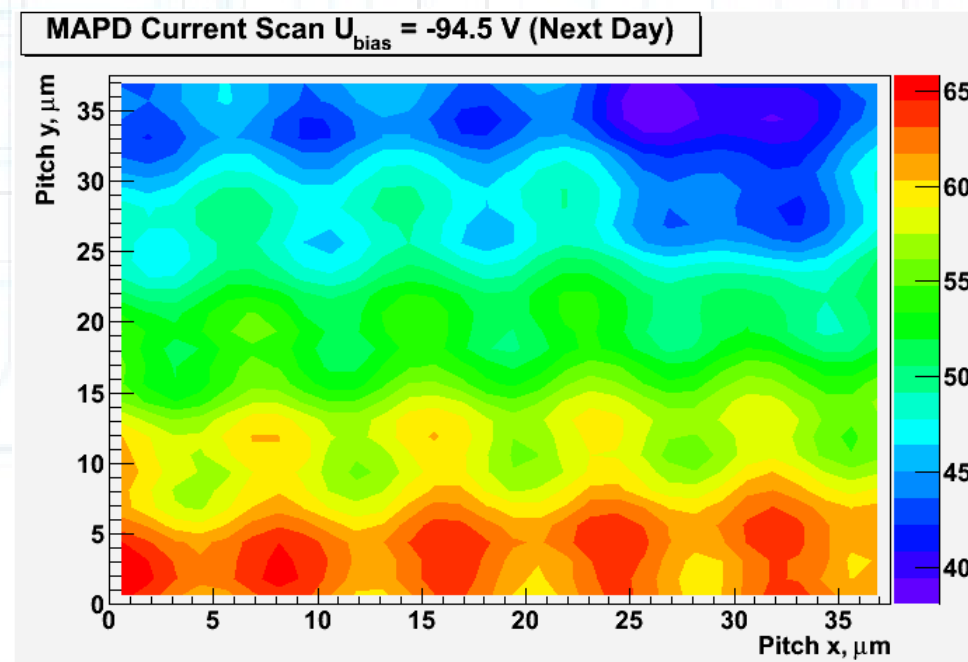
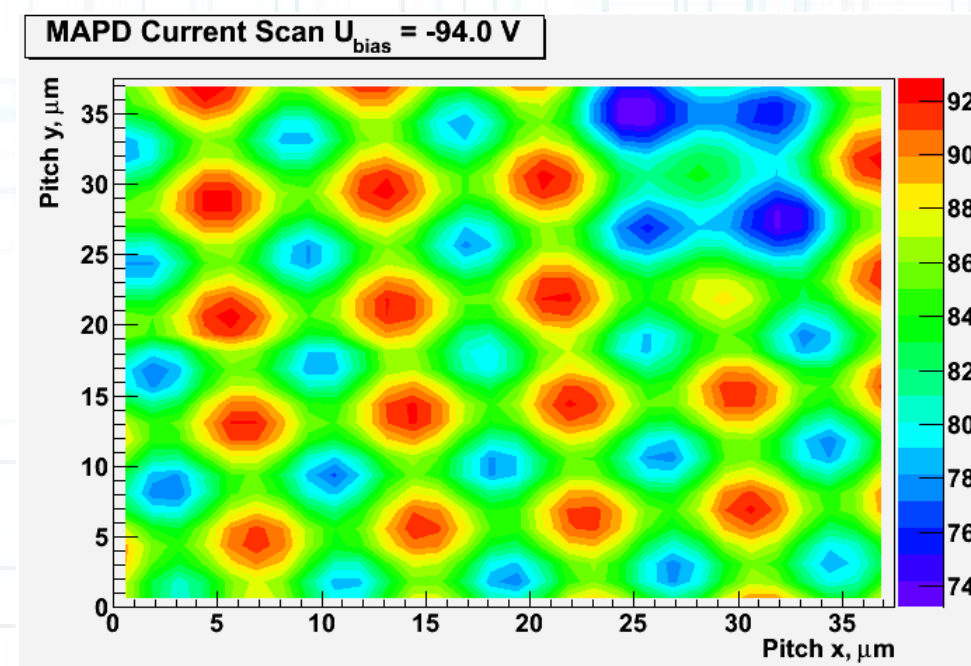
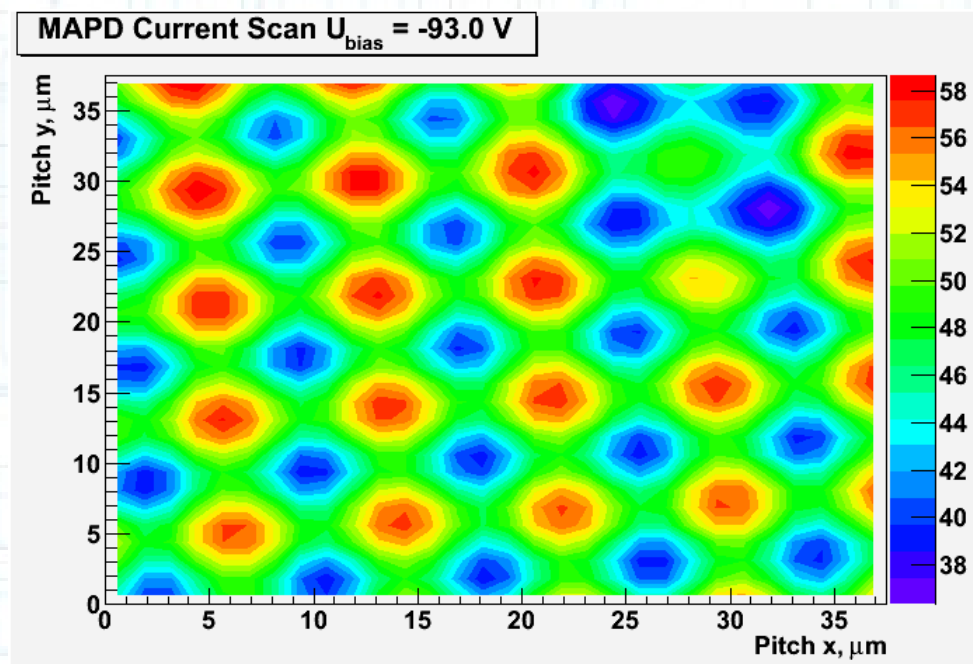


# Измерения в токовом режиме (Прага, КУ зима 2012 г): различные напряжения



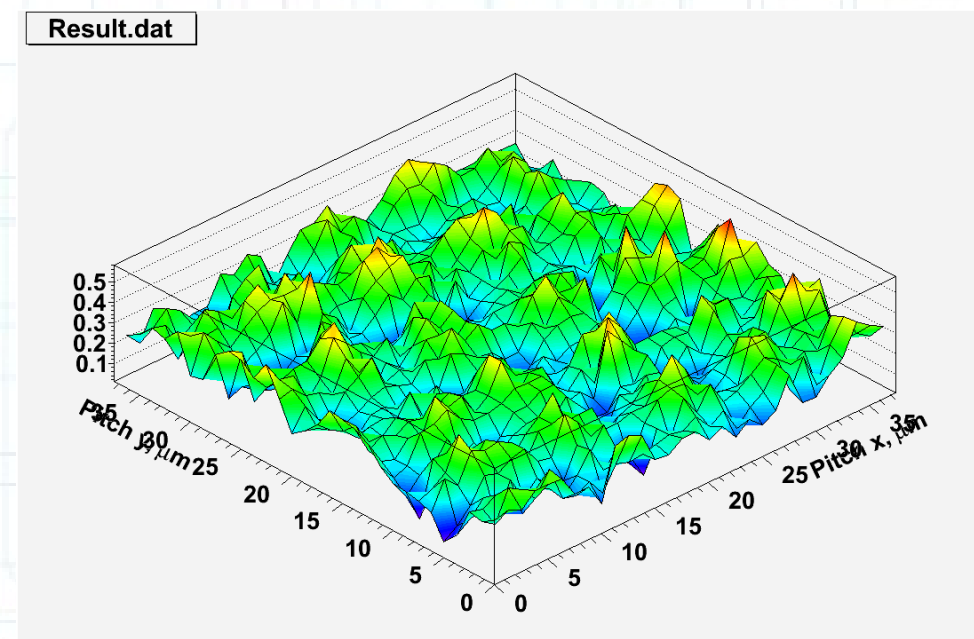
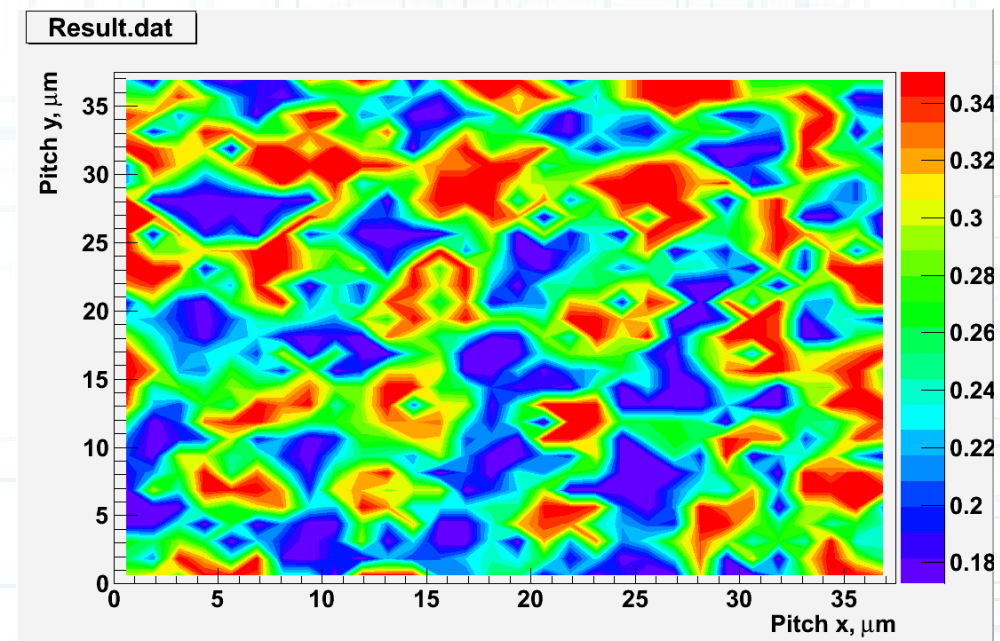
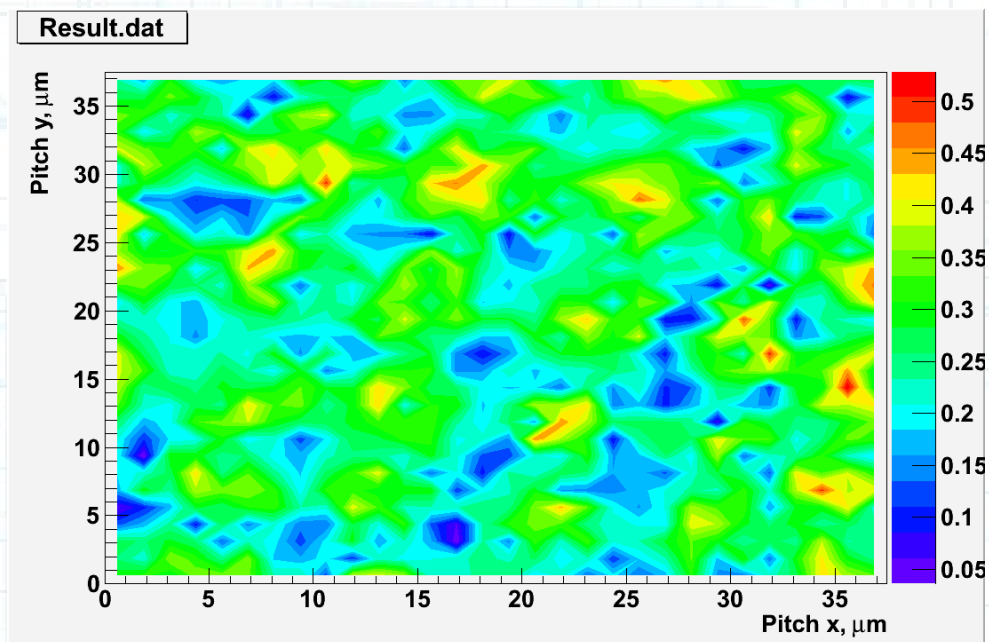
# Измерения в токовом режиме (Прага, КУ зима 2012 г): проблема ”гейгеровского” режима

- При рабочем напряжении возникает подозрение, что эффективность регистрации становится более однородной



# Измерения в однофотонном режиме

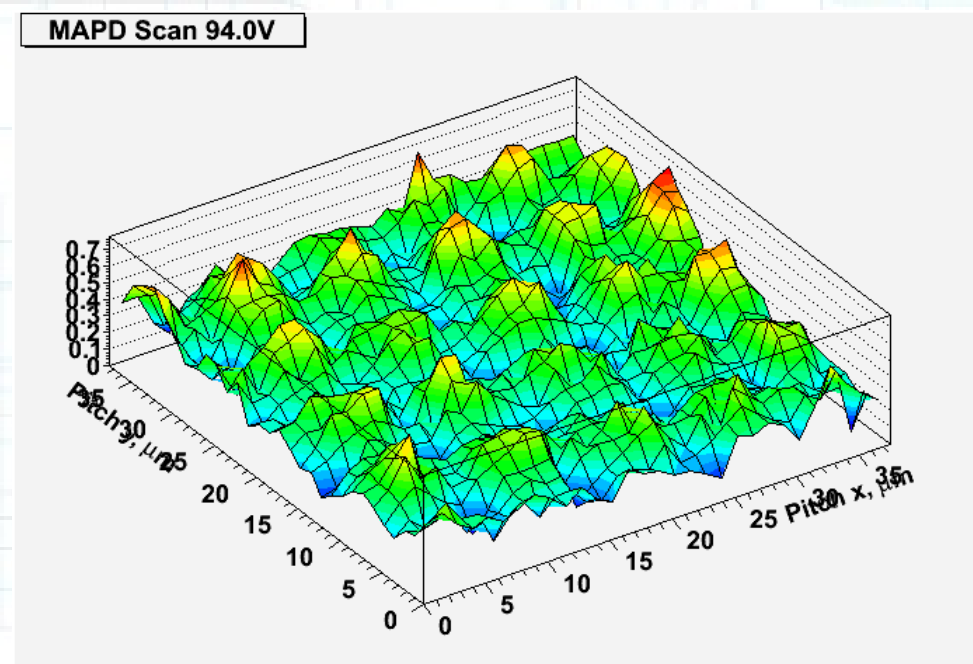
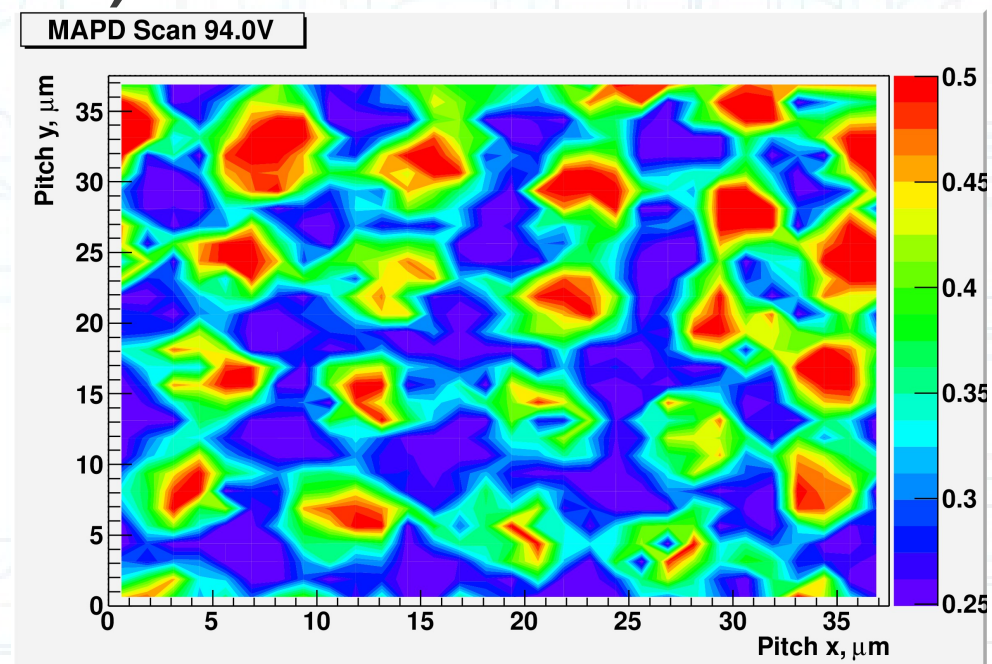
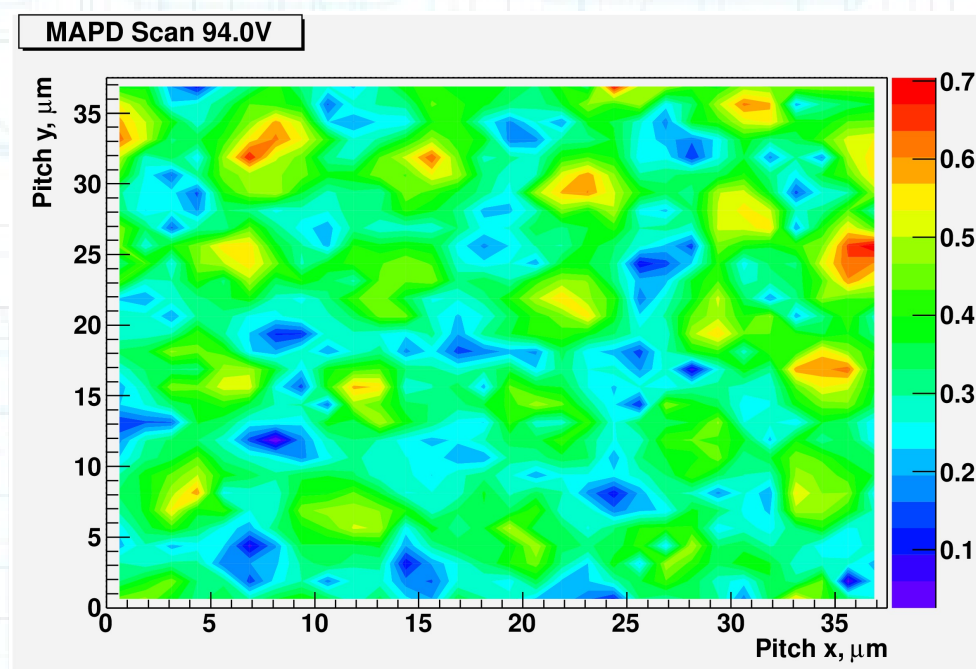
- MAPD-3N ( $U = 93.5$  В)





# Измерения в однофотозлектронном режиме

- MAPD-3N ( $U = 94.0$  В)



# Измерения в однофотонном режиме

- MAPD-3N ( $U = 94.5$  В)

